

A MAGYAR TUDOMÁNYOS AKADÉMIA
KÖZPONTI FIZIKAI KUTATÓ INTÉZETÉNEK
K Ö Z L E M É N Y E I

Erő János, Kiss István, Mátrai Tibor, Náray Zsolt és Pál Lénárd
közreműködésével szerkeszti
Fenyves Ervin

10. kötet

1962

5. szám

T A R T A L O M J E G Y Z É K

Oldal

1. Siklós Tivadar: A kétidős hőmérsékleti Green-függvény módszer alkalmazása a mágnesség elméletében..... 341
2. Tóth József: Mérési módszer fémek és fémes ötvözetek differenciális termofeszültségének meghatározására... 357
3. Vértés Péter: A pulzált neutronkísérletek elméletének néhány problémájáról..... 365

K i s é r l e t i t e c h n i k a

4. Csákány Antal: Nukleáris detektorok jeleit utánzó áramkörök számítása..... 383
5. Sebestyén Béla és Vajda Ferenc: Logaritmikus átlagimpulzusszám-
mérő..... 391

- . -

Technikai szerkesztő: Stancsich Györgyné

Kiadásért felelős: Jánossy Lajos

Megrendelve: 1962.okt.10. Pédányszám: 450

Készült Rotaprint eljárással

1279. KOZPONTI FIZIKAI KUTATÓ INTÉZET
KIADÓI CSOPORT

A KÉTIDŐS HŐMÉRSEKLETI GREEN-FÜGGVÉNY MÓDSZER ALKALMAZÁSA A MÁGNESÉG ELMÉLETÉBEN

Irta: Siklós Tivadar

Összefoglalás

Bemutatjuk a kétidős hőmérsékleti Green-függvény módszer [1] [2] alkalmazását izotrop ferromágneses anyag mágnesezettsége hőmérséklet és külső mágneses tértől való függésének kiszámítására [3] alapján.

Bevezetés

Az alacsony hőmérsékletek tartományában, amikor $T \ll T_c / T_c$ -curie-hőmérséklet/ az izotrop ferromágneses anyag mágnesezettsége hőmérséklet és külső tértől való függésének számítására jól alkalmazható a spin-hullámok módszere [4] vagy az azzal ekvivalens módszer, a közelítő második kvantálás módszere Bogoljubov és Tyablikov által kidolgozott formájában [5]. Lényeges lépést jelentettek e téren Dyson munkái [6], melyekben sikerült a mágnesezettség reguláris kifejtését kapni a hőmérséklet hatványai szerint és így lényegesen ki lehetett terjeszteni a spin-hullám elmélet érvényességi tartományát $T \approx \frac{1}{4} T_c$ -ig/.

A $T \sim T_c$ hőmérsékleti tartományban a mágnesezettség számítására csupán a meglehetősen durva közelítést jelentő molekuláris tér módszerét ismerjük [7]. Végül a $T \gg T_c$ hőmérsékleti tartományban a perturbációszámítást alkalmazva lehet előállítani a mágnesezettség kifejtését T^{-1} szerinti sor formájában [8]. Mondhatjuk tehát, hogy a mágnesezettség, a szabad energia számítására az elmélet különböző módszereket használ, melyeknek mindegyike csak egy meghatározott hőmérsékleti tartományban érvényes.

A kétidős hőmérsékleti Green-függvény módszer [1] [2] segítségével ki lehet építeni a mágnesezettség, a szabad energia számításának egységes metodikáját, mely az egész hőmérsékleti tartományra érvényes eredményt ad. Ezt lényegileg az teszi lehetővé, hogy e módszernél figyelembe tudjuk venni a rendszer Hamilton operátora magasabbrendű - több operátor szorzatát tartalmazó - tagjait is, legalábbis közelítőleg, azonkívül ki tudjuk szá-

mitani a szabad energiát és így a szabad energia kifejezését minimalizálhatjuk, ellentétben a közelítő második kvantálás módszerével, ahol csak az alapállapot energiájának minimalizálására volt mód.

Míg az [1] és [2] dolgozatban eleve feltételezték, hogy a mágnesezettség vektora és a külső mágneses térerősség vektora egymással párhuzamos izotrop ferromágneses anyag esetében, a [3] dolgozatban a szabad energia minimuma feltételi egyenletét használjuk fel a mágnesezettség iránya meghatározására. Ez lehetővé teszi, hogy a módszert alkalmazzuk egytengelyű anizotrop ferromágneses anyag mágnesezettsége hőmérséklet és külső mágneses tértől való függésének kiszámítására, [9] valamint felhasználva a kétidős hőmérsékleti Green-függvény módszer segítségével a ferromágneses rezonancia elméletében nyert eredményeket [10], megkaphatjuk az egytengelyű anizotrop ferromágneses anyag rezonancia formuláit is [11]. A módszer lehetőséget ad arra is, hogy a mágnesezettség számításánál figyelembe vegyünk a kicserélődési kölcsönhatáson kívül a dipol-dipol /mágneses/ kölcsönhatást is [12]. A kétidős hőmérsékleti Green-függvény módszert sikeresen alkalmazták az antiferromágnesség elméletében [13].

A kétidős hőmérsékleti Green-függvény módszer elvi alapjait és számos alkalmazását a mágnesség elméletében, a szilárdtest fizikában és a statisztikus fizikában jól összefoglalja [14], [15], [16].

A továbbiakban részletesen bemutatjuk a módszer alkalmazását izotrop ferromágneses anyag mágnesezettsége kiszámítására.

Izotrop ferromágneses anyag Heisenberg modelljének Hamilton operátora

Álljon a vizsgált ferromágneses kristály N számú ferromágneses atomból, melyek egy egyszerű kristályrács rácspontjaiban helyezkednek el. Feltételezzük az egy domén strukturát, valamint, hogy minden rácspontban azonos típusú ferromágneses atom tartózkodik. Feltételezzük továbbá, hogy minden ferromágneses atomnál egy ferromágnességért felelős elektron van és hogy a vezetési elektronokkal való kölcsönhatás elhanyagolható. A ferromágnességért felelős elektronoknak csupán kicserélődési kölcsönhatását fogjuk figyelembe venni és feltételezzük, hogy a ferromágneses kristály izotrop.

Ekkor a Heisenberg modell alapján a ferromágneses kristályt az alábbi Hamilton operátorral írhatjuk le:

$$H = -\mu \sum_{(f_1, \alpha)} g^{\alpha} S_{f_1}^{\alpha} - \frac{1}{2} \sum_{(f_1, f_2, \alpha)} J(|f_1 - f_2|) S_{f_1}^{\alpha} S_{f_2}^{\alpha} \quad /1/$$

ahol μ -Bohr magneton; \mathcal{H} - külső mágneses tér, $\mathcal{J}(|f_1 - f_2|)$ a kicserélődési integrál, mely, figyelembevéve a kristály translációs szimmetriáját, a rácspontok távolsága abszolút értékétől függ. Esetünkben $\mathcal{J}(|f_1 - f_2|) > 0$.

S_f^α az f rácspontban tartózkodó elektron spin-operátorának α - komponense $/\frac{\hbar}{2}$ egységekben/.

Célszerű áttérni a spin-operátorokról a Pauli-operátorokra, a

$$S_f^\alpha = \gamma_\alpha (1 - 2n_f) + A_\alpha b_f + A_\alpha^* b_f^+ \quad ; \quad /2/$$

$$n_f = b_f^+ b_f$$

transzformációs formula alapján, ahol γ_α a transzformáció vektor koefficiense, mely kielégíti a

$$\sum_{(\alpha)} \gamma_\alpha^2 = 1$$

feltételt,

$$A_x = -\frac{\gamma_x \gamma_z}{\eta_z} - i \frac{\gamma_y}{\eta_z} ; \quad A_y = -\frac{\gamma_y \gamma_z}{\eta_z} + i \frac{\gamma_x}{\eta_z} ; \quad A_z = \eta_z ; \quad \eta_z = \sqrt{\gamma_x^2 + \gamma_y^2} \quad /3/$$

és az A koefficiensekre fennállnak a következő összefüggések:

$$(A^* \cdot A) = 2 ; \quad (A \cdot A) = (A^* \cdot A^*) = (A \gamma) = (A^* \cdot \gamma) = 0 . \quad /4/$$

A b_f és b_f^+ operátorok a Pauli operátorokra vonatkozó csere-relációknak tesznek eleget:

$$\left. \begin{aligned} b_f b_f^+ + b_f^+ b_f &= 1 ; \quad b_f^2 = (b_f^+)^2 = 0 ; \\ b_f b_g^+ - b_g^+ b_f &= 0 ; \\ b_f b_g - b_g b_f &= b_f^+ b_g^+ - b_g^+ b_f^+ = 0 ; \end{aligned} \right\} \text{ ha } f \neq g . \quad /5/$$

Egyszerű számítással könnyű meggyőződni arról, hogy az így megadott operátorokat és koefficienseket /2/-be behelyettesítve, az S_f^α spin-operátor ténylegesen kielégíti a spin-operátorokra érvényes csere-relációkat.

Megjegyezhetjük, hogy a Pauli-operátorok csere-relációi Fermi csere-reláció jellegűek azonos rácspontokra és Bose jellegűek különböző rácspontokra.

Áttérve az új operátorokra az /1/ Hamilton operátort az alábbi alakban írhatjuk fel:

$$H = H_0 + H_1 + H_2 + H_3 + H_4, \quad /6/$$

ahol

$$H_0 = E_0 = -\mu N(\mathcal{H}\vartheta) - \frac{1}{2} N\mathcal{J}(0),$$

$$H_1 = -\mu(\mathcal{H}A) \sum_f b_f - \mu(\mathcal{H}A^*) \sum_f b_f^+,$$

$$H_2 = 2\mu(\mathcal{H}\vartheta) \sum_{(f)} n_f + 2 \sum_{(f_1, f_2)} \mathcal{J}(|f_1 - f_2|) \{n_{f_1} - b_{f_1}^+ b_{f_2}\}, \quad /7/$$

$$H_3 = 0,$$

$$H_4 = -2 \sum_{(f_1, f_2)} \mathcal{J}(|f_1 - f_2|) n_{f_1} n_{f_2}$$

és

$$\mathcal{J}(0) = \frac{1}{N} \sum_{(f_1, f_2)} \mathcal{J}(f_1, f_2).$$

Bevezetjük a viszonylagos mágnesezettséget:

$$M^\alpha = \langle S^\alpha \rangle = \vartheta_\alpha \langle 1 - 2n_f \rangle + A_\alpha \langle b_f \rangle + A_\alpha^* \langle b_f^+ \rangle = \vartheta_\alpha \sigma + A_\alpha \beta + A_\alpha^* \beta^*. \quad /8/$$

A viszonylagos mágnesezettséget fogjuk kiszámítani a kétidős hőmérsékleti Green-függvény módszer felhasználásával.

Egyenletek a kétidős hőmérsékletű Green-függvényekre

Feladatunk tárgyalásához célszerű az alábbi Green-függvényeket megválasztani: x/

$$G_{gf}^{(1)}(t-t') = \langle\langle b_g(t) | b_f^+(t') \rangle\rangle ; \quad G_{gf}^{(2)}(t-t') = \langle\langle b_g^+(t) | b_f^+(t') \rangle\rangle ,$$

$$G_{gf}^{(3)}(t-t') = \langle\langle b_g(t) | b_f(t') \rangle\rangle ; \quad G_{gf}^{(4)}(t-t') = \langle\langle b_g^+(t) | b_f(t') \rangle\rangle . \quad /9/$$

Előállítjuk a /9/ Green-függvények egyenleteit

$$i \frac{d}{dt} \langle\langle A(t) | B(t') \rangle\rangle = i \delta(t-t') \langle [A(t), B(t')] \rangle + i \langle\langle \frac{dA(t)}{dt} | B(t') \rangle\rangle \quad /10/$$

alapján, ahol

$$i \frac{dA(t)}{dt} = [A, H] .$$

x/ Az itt használt kétidős hőmérsékletű Green-függvényeket az alábbi egyenlőségek határozzák meg [1] [3]:

$$G_r(t-t') = \langle\langle A(t) | B(t') \rangle\rangle_r = \Theta(t-t') \langle [A(t), B(t')] \rangle ,$$

$$G_a(t-t') = \langle\langle A(t) | B(t') \rangle\rangle_a = -\Theta(t-t') \langle [A(t), B(t')] \rangle ,$$

ahol

$$\langle \mathcal{U} \rangle = Q^{-1} \text{Sp} \left\{ \mathcal{U} e^{-\frac{H}{\mathcal{F}}} \right\} ; \quad Q = \text{Sp} \left\{ e^{-\frac{H}{\mathcal{F}}} \right\} ;$$

$$[A(t), B(t')] = A(t)B(t') - \eta B(t')A(t) ; \quad \eta = \pm 1 ;$$

$$\Theta(t) = \begin{cases} 1 ; & t-t' > 0 ; \\ 0 ; & t-t' < 0 ; \end{cases}$$

a középérték-képzés a Gibbs féle nagy kanonikus sokaságra történik, így a H Hamilton operátor magában foglalja $-\lambda N$ tagot is /ahol λ - a kémiai potenciál, N - részecskék száma/, A(t) és B(t) Heisenberg reprezentációban vett operátorok. η előjelét a részecskék statisztikájától függetlenül választhatjuk meg.

Meghatározva a Pauli operátorok t idő szerinti deriváltjait a mozgásegyenletekből, a feladatunkban bevezetett Green-függvényekre így az alábbi összefonódó egyenlet-láncot kapjuk:

$$\begin{aligned}
 i \frac{d}{dt} G_{gf}^{(1)}(t-t') &= i\delta(t-t')\delta_{fg} \sigma + 2\mu(\mathcal{A}A^*)\langle\langle n_g(t) | b_f^+(t') \rangle\rangle + \\
 &+ 2\{\mu(\mathcal{A}\mathcal{G}) + J(0)\}G_{gf}^{(1)}(t-t') - \\
 &- \sum_{(p)} 2J(gp)\{G_{pf}^{(1)}(t-t') - 2\langle\langle n_g(t) b_p(t) | b_f^+(t') \rangle\rangle + \\
 &+ 2\langle\langle n_p(t) b_g(t) | b_f^+(t') \rangle\rangle\} \quad , \quad /11/
 \end{aligned}$$

$$\begin{aligned}
 i \frac{d}{dt} G_{gf}^{(2)}(t-t') &= -2\mu(\mathcal{A}A)\langle\langle n_g(t) | b_f^+(t') \rangle\rangle - 2\{\mu(\mathcal{A}\mathcal{G}) + J(0)\}G_{gf}^{(2)}(t-t') + \\
 &+ \sum_p 2J(gp)\{G_{pf}^{(2)}(t-t') - 2\langle\langle n_g(t) b_p^+(t) | b_f^+(t') \rangle\rangle + \\
 &+ 2\langle\langle n_p(t) b_g^+(t) | b_f^+(t') \rangle\rangle\} \quad , \quad /12/
 \end{aligned}$$

$$\begin{aligned}
 i \frac{d}{dt} G_{gf}^{(3)}(t-t') &= 2\mu(\mathcal{A}A^*)\langle\langle n_g(t) | b_f(t') \rangle\rangle + 2\{\mu(\mathcal{A}\mathcal{G}) + J(0)\}G_{gf}^{(3)}(t-t') - \\
 &- \sum_{(p)} 2J(gp)\{G_{pf}^{(3)}(t-t') - 2\langle\langle n_g(t) b_p(t) | b_f(t') \rangle\rangle + \\
 &+ 2\langle\langle n_p(t) b_g(t) | b_f(t') \rangle\rangle\} \quad , \quad /13/
 \end{aligned}$$

$$\begin{aligned}
 i \frac{d}{dt} G_{gf}^{(4)}(t-t') &= -i\delta(t-t')\delta_{fg} \sigma - 2\mu(\mathcal{A}A)\langle\langle n_g(t) | b_f(t') \rangle\rangle - \\
 &- 2\{\mu(\mathcal{A}\mathcal{G}) + J(0)\}G_{gf}^{(4)}(t-t') + \sum_{(p)} 2J(gp)\{G_{pf}^{(4)}(t-t') - \\
 &- 2\langle\langle n_g(t) b_p^+(t) | b_f(t') \rangle\rangle + 2\langle\langle n_p(t) b_g^+(t) | b_f(t') \rangle\rangle\} \quad . \quad /14/
 \end{aligned}$$

Itt először is látjuk, hogy $G_{gf}^{(1)}$, $G_{gf}^{(2)}$ és $G_{gf}^{(3)}$, $G_{gf}^{(4)}$ függvényekre vonatkozó egyenletek egymástól függetlenül oldhatók meg. Megjegyezzük, hogy a számítások során látni fogjuk, hogy a feladat megoldásához mind a négy $G_{gf}^{(i)}$ ($i=1,2,3,4$) függvényre szükségünk lesz. Jól látszik továbbá, hogy az egyenletekben a bevezetett G_{gf}^i Green-függvényeken kívül több más Green-függvény is megjelent, melyek mindegyike baloldalon egynél több Pauli operátor t -időben vett szorzatát tartalmazza. Ezekre a Green-függvényekre is fel kell írni a megfelelő egyenleteket, azokban további új Green-függvények fognak fellépni és így egy végtelen összefonódó egyenlet-láncot kapunk, melynek szétkapcsolás nélküli exakt megoldását keresni, legalábbis napjainkban, reménytelen feladat. Jelenleg nem tudunk általános szabályt megadni a szétkapcsolásra és nem lehet egyelőre olyan receptet sem adni, mely megadná az egymás után konzekvensen alkalmazandó szétkapcsolások elvét.

A Green-függvények összekapcsolódó egyenlet-lánc közelítő szétkapcsolása

A tárgyalt problémában célszerű az alábbi fogást alkalmazni. Írjuk fel a Pauli operátorokat a következő alakban:

$$b_g(t) = \beta + \mu_g(t); \quad b_g^+(t) = \beta^* + \mu_g^+(t'), \quad /15/$$

ahol

$$\beta = \langle b_g(t) \rangle; \quad \beta^* = \langle b_g^+(t) \rangle; \quad \langle \mu_g(t) \rangle = \langle \mu_g^+(t) \rangle = 0 .$$

A továbbiakban célszerűen az $\eta=1$ -et választjuk. Ekkor egyrészt új Green-függvényeket vezetünk be, melyekre fennáll:

$$\begin{aligned} \langle\langle \mu_g(t) | \mu_f^+(t') \rangle\rangle &= \langle\langle b_g(t) | b_f^+(t') \rangle\rangle = G_{gf}^{(1)}(t-t') , \\ \langle\langle \mu_g^+(t) | \mu_f^+(t') \rangle\rangle &= \langle\langle b_g^+(t) | b_f^+(t') \rangle\rangle = G_{gf}^{(2)}(t-t') , \\ \langle\langle \mu_g(t) | \mu_f(t') \rangle\rangle &= \langle\langle b_g(t) | b_f(t') \rangle\rangle = G_{gf}^{(3)}(t-t') , \\ \langle\langle \mu_g^+(t) | \mu_f(t') \rangle\rangle &= \langle\langle b_g^+(t) | b_f(t') \rangle\rangle = G_{gf}^{(4)}(t-t') . \end{aligned} \quad /16/$$

/15/ alapján írhatjuk továbbá:

$$n_g(t) = b_g^+(t) b_g(t) = \bar{n} + \Omega_{gg}(t) + \beta^* \mu_g(t) + \beta \mu_g^+(t) , \quad /17/$$

ahol

$$\begin{aligned} \bar{n} &= \langle n_g(t) \rangle = \beta \beta^* + \langle \mu_g^+(t) \mu_g(t) \rangle , \\ \Omega_{gg}(t) &= \mu_g^+(t) \mu_g(t) - \langle \mu_g^+(t) \mu_g(t) \rangle; \quad \langle \Omega_{gg}(t) \rangle = 0 . \end{aligned}$$

Ekkor a /11/ - /14/ egyenletekben szereplő baloldalon több Pauli operátort tartalmazó minden Green-függvényt felbonthatunk úgy, hogy egy része kifejeződik a kezdeti $G_{gf}^{(i)}$ Green-függvények segítségével, másik része pedig a $\mu_f(t)$ operátorokból is több operátor szorzatát tartalmazza. Például egy /17/ alapján írhatjuk:

$$\langle\langle n_g(t) | b_f^+(t') \rangle\rangle = \beta^* G_{gf}^{(1)} + \beta G_{gf}^{(2)} + \langle\langle \Omega_{gg}(t) | \mu_f^+(t') \rangle\rangle$$

és

$$\begin{aligned} \langle\langle n_g(t) b_p(t) | b_f^+(t') \rangle\rangle &= \bar{n} G_{pf}^{(1)} + \beta^* \beta G_{gf}^{(1)} + \beta \beta G_{gf}^{(2)} + \\ &+ \beta \langle\langle \Omega_{gg}(t) | \mu_f^+(t') \rangle\rangle + \beta^* \langle\langle \mu_g(t) \mu_p(t) | \mu_f^+(t') \rangle\rangle + \\ &+ \beta \langle\langle \mu_g^+(t) \mu_p(t) | \mu_f^+(t') \rangle\rangle + \langle\langle \Omega_{gg}(t) \mu_p(t) | \mu_f^+(t') \rangle\rangle. \end{aligned}$$

Bevezetjük a /11/ - /14/ egyenletekben mindenhol ezeket az új Green-függvényeket és alkalmazzuk a következő szétkapcsolást: a $G_{f_1 f_2}^{(i)}(t-t')$ függvényeken kívül az összes Green-függvényt, mint magasabb közelítést tartalmazó függvényeket elhagyjuk. Megjegyezzük, hogy az új $\mu_f(t)$ operátorok bevezetésével a $b_f(t)$ operátorok többszörös szorzataiból is mintegy "átmentettünk" egy részt az egyenlet megoldásra megtartott részére. Az így nyert közelítés pontosságát precízen értékelni azonban nem tudjuk. A szétkapcsolás pontosságát úgy lehetne megmutatni, ha sikerülne találni a második közelítésre az első szétkapcsoláshoz illeszkedő szétkapcsolást és ennek alapján értékelni lehetne az elhagyott Green-függvények legalább egy része járulékát. Azt megjegyezhetjük, hogy a fenti szétkapcsolás a közelítő második kvantálás módszere a magasabb hőmérsékletek tartományára termodinamikailag javított módszerének felel meg. Ugyanis a közelítő második kvantálás módszerében a Pauli operátorokat közelítőleg Bose operátoroknak tekintették és elhagyták a Hamilton operátor H_4 tagját, e két közelítés megfelelő a $T \ll T_C$ hőmérsékletek tartományában. A mi közelítésünkben viszont a Pauli operátorok megmaradnak Pauli operátoroknak és a H_4 tagot legalább is részben figyelembe vesszük. Az egyenletünkéből pontosan megkapjuk a közelítő második kvantálás esetét, ha $\bar{n} = 0$ irunk. A hőmérséklet növekedésével viszont az \bar{n} tényezőt tartalmazó tagok szerepe növekszik.

Itt még meg kívánjuk jegyezni, hogy ha eleve feltételezzük, mint [1][2]-ben a mágnesezettség és a külső mágneses tér vektora parallelitását, akkor a Hamilton operátor lényegesen leegyszerűsödik, elegendő a

$$\begin{aligned} G_{gf}(t-t') &= \langle\langle b_g(t) | b_f^+(t') \rangle\rangle, \\ G_{g_1 g_2 f}(t-t') &= \langle\langle n_{g_1}(t) b_{g_2}(t) | b_f^+(t') \rangle\rangle \end{aligned}$$

Green-függvényekkel dolgozni és akkor analóg közelítésben írhatjuk:

$$G_{g_1, g_2, f}(t-t') = \bar{n} G_{gf}(t-t') + \text{baloldalon több operátor szorzatát tartalmazó függvények.}$$

A mágnesezettség és külső mágneses tér vektorának párhuzamossága azonban csak az izotrop esetében áll fenn, egytengelyű anizotrop ferromágneses anyag esetében általában nem igaz.

A Green-függvények közelítő egyenleteinek megoldása

Ezen megjegyzések után első közelítésben felírjuk a $G_{f_1 f_2}^{(i)}$ ($i=1,2,3,4$)

Green-függvényekre vonatkozó egyenleteket

$$\begin{aligned} i\dot{G}_{gf}^{(1)}(t-t') &= i\delta(t-t')\delta_{fg}\sigma + \alpha_{11}G_{gf}^{(1)}(t-t') + \alpha_{12}G_{gf}^{(2)}(t-t') - \\ &- \sum_{(p)} \alpha_{13}(gp)G_{pf}^{(1)}(t-t') - \sum_{(p)} \alpha_{14}(gp)G_{pf}^{(2)}(t-t') , \end{aligned} \quad /18/$$

$$\begin{aligned} i\dot{G}_{gf}^{(2)}(t-t') &= -\alpha_{12}^*G_{gf}^{(1)}(t-t') - \alpha_{11}^*G_{gf}^{(2)}(t-t') + \sum_{(p)} \alpha_{14}^*(gp)G_{pf}^{(1)}(t-t') + \\ &+ \sum_{(p)} \alpha_{13}^*(gp)G_{pf}^{(2)}(t-t') , \end{aligned} \quad /19/$$

$$\begin{aligned} i\dot{G}_{gf}^{(3)}(t-t') &= \alpha_{11}G_{gf}^{(3)}(t-t') + \alpha_{12}G_{gf}^{(4)}(t-t') - \sum_{(p)} \alpha_{13}(gp)G_{pf}^{(3)}(t-t') - \\ &- \sum_{(p)} \alpha_{14}(gp)G_{pf}^{(4)}(t-t') , \end{aligned} \quad /20/$$

$$\begin{aligned} i\dot{G}_{gf}^{(4)}(t-t') &= -\alpha_{12}^*G_{gf}^{(3)} - \alpha_{11}^*G_{gf}^{(4)} + \sum_{(p)} \alpha_{14}^*(gp)G_{pf}^{(3)} + \\ &+ \sum_{(p)} \alpha_{13}^*(gp)G_{pf}^{(4)} - i\delta(t-t')\delta_{fg}\sigma , \end{aligned} \quad /21/$$

ahol ponttal a t szerint való differenciálást jelöltük és

$$\alpha_{11} = 2\{\mu(\mathcal{H}\gamma) + J(0)(\sigma + 2\beta^*\beta) + \mu(\mathcal{H}A^*)\beta^*\} , \quad /22/$$

$$\alpha_{12} = 2\{\mu(\mathcal{H}A^*)\beta + 2J(0)\beta\beta\} ,$$

$$\alpha_{13}(gp) = 2J(gp)(\sigma + 2\beta^*\beta) ,$$

$$\alpha_{14}(gp) = 4J(gp)\beta\beta .$$

Térjünk most a Green-függvények Fourier-komponenseire:

$$G_{gf}^{(i)}(t-t') = \int_{-\infty}^{\infty} G_{gf}^{(i)}(E) e^{-iE(t-t')} dE . \quad /23/$$

Figyelembe véve a kristályrácstranszlációs szimmetriáját, könnyen belátható, hogy a $G_{gf}^{(i)}$ függvények a rácsvektorok különbségének abszolút értékétől függő, periodikus függvények, ekkor áttérhetünk az e változó szerinti Fourier-komponensekre is:

$$G_{gf}^{(i)}(E) = \frac{1}{N} \sum_{(k)} e^{i(g-f, k)} G_{k(E)}^{(i)} . \quad /24/$$

A δ Kronecker szimbólumot így írhatjuk

$$\delta_{gf} = \frac{1}{N} \sum e^{i(g-f, k)}$$

és

$$J(k) = \sum_{(f)} J(f) e^{i(f, k)} .$$

Ekkor /18/ - /21/ egyenletek helyett a $G_k^{(i)}(E)$ Green-függvényekre könnyen megoldható egyenleteket nyerünk:

$$\begin{aligned} (E - A_k^{(1)}) G_k^{(1)}(E) - B_k^{(1)} G_k^{(2)}(E) &= \frac{i}{2\pi} \sigma , \\ B_k^{(2)} G_k^{(1)}(E) + (E + A_k^{(2)}) G_k^{(2)}(E) &= 0 , \end{aligned} \quad /25/$$

$$\begin{aligned} (E - A_k^{(1)}) G_k^{(3)}(E) - B_k^{(1)} G_k^{(4)}(E) &= 0 , \\ B_k^{(2)} G_k^{(3)}(E) + (E + A_k^{(2)}) G_k^{(4)}(E) &= \frac{i}{2\pi} \sigma , \end{aligned} \quad /26/$$

ahol

$$A_k^{(1)} = A_k^{*(2)} = 2\{\mu(\mathfrak{H}\chi) + (J(0) - J(k))(\sigma + 2\beta^*\beta) + \mu(\mathfrak{H}A^*)\beta^*\} ,$$

$$B_k^{(1)} = B_k^{*(2)} = 2\beta\{\mu(\mathfrak{H}A) + 2\beta(J(0) - J(k))\} . \quad /27/$$

A /25/ - /26/ egyenletek megoldásait könnyen felírhatjuk:

$$\begin{aligned}
 G_k^{(1)}(E) &= \frac{i}{2\pi} \frac{\sigma}{2} \left\{ \frac{1}{\mathcal{E} - E_k} + \frac{1}{\mathcal{E} + E_k} + \frac{A_k}{E_k} \frac{1}{\mathcal{E} - E_k} - \frac{A_k}{E_k} \frac{1}{\mathcal{E} + E_k} \right\}, \\
 G_k^{(2)}(E) &= \frac{i}{2\pi} \frac{\sigma}{2} \left\{ -\frac{B_k^{(2)}}{E_k} \frac{1}{\mathcal{E} - E_k} + \frac{B_k^{(2)}}{E_k} \frac{1}{\mathcal{E} + E_k} \right\}, \\
 G_k^{(3)}(E) &= \frac{i}{2\pi} \frac{\sigma}{2} \left\{ -\frac{B_k^{(1)}}{E_k} \frac{1}{\mathcal{E} - E_k} + \frac{B_k^{(1)}}{E_k} \frac{1}{\mathcal{E} + E_k} \right\}, \\
 G_k^{(4)}(E) &= -\frac{i}{2\pi} \frac{\sigma}{2} \left\{ \frac{1}{\mathcal{E} - E_k} + \frac{1}{\mathcal{E} + E_k} - \frac{A_k}{E_k} \frac{1}{\mathcal{E} - E_k} + \frac{A_k}{E_k} \frac{1}{\mathcal{E} + E_k} \right\}
 \end{aligned}
 \tag{28/}$$

vagy összefoglalóan írhatjuk:

$$G_k^{(i)}(E) = \frac{i}{2\pi} \frac{\sigma}{2} \sum_{\ell=1}^{(4)} Z_i^{(\ell)}(k) \frac{1}{\mathcal{E} - E_k^{(\ell)}}, \tag{29/}$$

ahol

$$\begin{aligned}
 \mathcal{E} &= E - \alpha_k; \quad \alpha_k = \frac{1}{2}(A_k^{(1)} - A_k^{(2)}) = -i \operatorname{Im} A_k^{(1)}; \quad A_k = \frac{1}{2}(A_k^{(1)} + A_k^{(2)}) = \operatorname{Re} A_k^{(1)}, \\
 E_k^{(2n+1)} &= E_k = \sqrt{A_k^2 - B_k^{(1)} B_k^{(2)}}; \quad E_k^{(2n)} = -E_k, \\
 Z_1^{(1)}(k) &= Z_1^{(2)}(k) = -Z_4^{(1)}(k) = -Z_4^{(2)}(k) = 1, \\
 Z_1^{(3)}(k) &= Z_4^{(3)}(k) = -Z_1^{(4)}(k) = -Z_4^{(4)}(k) = \frac{A_k}{E_k}, \\
 Z_2^{(1)}(k) &= Z_2^{(2)}(k) = -\frac{B_k^{(2)}}{E_k}; \quad Z_3^{(1)}(k) = -Z_3^{(2)}(k) = -\frac{B_k^{(1)}}{E_k}, \\
 Z_2^{(3)}(k) &= Z_2^{(4)}(k) = Z_3^{(3)}(k) = Z_3^{(4)}(k) = 0.
 \end{aligned}
 \tag{29a/}$$

Korrelációs függvények és mágneszettség számítása

Miután meghatároztuk a Green-függvényeket, most már könnyen kiszámíthatjuk a spektrál intenzitást az ismert

$$I(\omega) \left\{ e^{\frac{\omega}{\mathcal{E}}} - 1 \right\} = G(\omega + i\mathcal{E}) - G(\omega - i\mathcal{E}) \tag{30/}$$

formula alapján. Felhasználva, hogy

$$\frac{1}{\omega - E_k \pm i\varepsilon} = \frac{P}{\omega - E_k} \mp i\pi\delta(\omega - E_k),$$

írhatjuk

$$I_k^{(i)}(\omega) = \frac{\sigma}{2} \frac{1}{e^{\frac{E_k}{\vartheta}} - 1} \sum_{\ell=1}^4 Z_i^{(\ell)}(k) \delta(\omega - E_k), \quad /31/$$

illetve

$$I_{g,f}(\omega) = \frac{1}{N} \sum_k e^{i(g-f,k)} I_k(\omega) = \frac{1}{N} \frac{\sigma}{2} \sum_{\ell=1}^4 \sum_k \frac{e^{i(g-f,k)}}{e^{\frac{E_k}{\vartheta}} - 1} \delta(\omega - E_k) Z_i^{(\ell)}(k) \quad /32/$$

és akkor ugyancsak az ismert

$$\langle B(t')A(t) \rangle = \int_{-\infty}^{\infty} I_{gf}(\omega) e^{-i\omega(t-t')} d\omega \quad /33/$$

általános formula alapján ($t=t'$) esetére kapjuk a számunkra szükséges korrelációs függvény értékeket, egyben áttérve összegezésről integrálásra:

$$\langle \mu_g \mu_f^+ \rangle = \frac{\sigma}{2} \frac{v}{(2\pi)^3} \int e^{i(g-f,k)} d\vec{k} \frac{v}{(2\pi)^3} \int e^{i(f-g,k)} \frac{A_k}{E_k} \operatorname{cth} \frac{E_k}{2\vartheta} d\vec{k},$$

$$\langle \mu_g^+ \mu_f \rangle = \frac{\sigma}{2} \frac{v}{(2\pi)^3} \left\{ -\int e^{i(g-f,k)} d\vec{k} + \int e^{i(g-f,k)} \frac{A_k}{E_k} \operatorname{cth} \frac{E_k}{2\vartheta} d\vec{k} \right\},$$

/34/

$$\langle \mu_g^+ \mu_f^+ \rangle = \frac{\sigma}{2} \frac{v}{(2\pi)^3} \int e^{i(g-f,k)} \frac{B_k^{(2)}}{E_k} \operatorname{cth} \frac{E_k}{2\vartheta} d\vec{k},$$

$$\langle \mu_g \mu_f \rangle = -\frac{\sigma}{2} \frac{v}{(2\pi)^3} \int e^{i(g-f,k)} \frac{B_k^{(1)}}{E_k} \operatorname{cth} \frac{E_k}{2\vartheta} d\vec{k},$$

ahol v az elemi cella térfogata.

E korrelációs függvény értékekre szükségünk van, amikor a szabad energia kifejezését számítjuk, különösen bonyolultabb esetekben.

Ha most a /34/ képletekben $g=f$ esetet veszünk, akkor könnyen belátható módon egyenleteket nyerünk σ , β és β^* meghatározására:

$$\beta^* \beta = \frac{1}{2} - \frac{\sigma}{2} \frac{v}{(2\pi)^3} \int \frac{A_k}{E_k} \operatorname{cth} \frac{E_k}{2\vartheta} d\vec{k}, \quad /35/$$

$$(\beta^*)^2 = \frac{\sigma}{2} \frac{v}{(2\pi)^3} \int \frac{B_k^{(2)}}{E_k} \operatorname{cth} \frac{E_k}{2\vartheta} d\vec{k} , \quad /36/$$

$$(\beta)^2 = \frac{\sigma}{2} \frac{v}{(2\pi)^3} \int \frac{B_k^{(1)}}{E_k} \operatorname{cth} \frac{E_k}{2\vartheta} d\vec{k} . \quad /37/$$

A még meg nem határozott $\vec{\gamma}$ transzformációs vektort a szabad energia minimuma feltételéből határozzuk meg:

$$\frac{\partial F}{\partial \gamma_\alpha} + \lambda \gamma_\alpha = 0 , \quad /38/$$

ahol

$$\frac{\partial F}{\partial \gamma_\alpha} = \operatorname{Sp} \left\{ \frac{\partial H}{\partial \gamma_\alpha} e^{-\frac{H}{\vartheta}} \right\} \left\{ \operatorname{Sp} \left(e^{-\frac{H}{\vartheta}} \right) \right\}^{-1} . \quad /39/$$

Itt ugyancsak meg kell jegyezni, hogy ellentétben a közelítő második kvantálás módszerével, mivel e korrelációs függvények rendelkezésünkre állnak, a $\vec{\gamma}$ vektort a szabadenergia minimumából tudjuk meghatározni, míg a közelítő második kvantálás módszere alkalmazásakor az alapállapot energiája minimuma feltételéből határozták meg a $\vec{\gamma}$ vektort.

Könnyen belátható, hogy izotrop ferromágneses anyag esetében a szabad energia minimuma feltétele $\vec{\gamma}$ meghatározására az alábbi egyszerű egyenletet adja:

$$-\sigma N \mu \mathcal{H}_\alpha - \mu N \frac{\partial(\mathcal{H}A)}{\partial \gamma_\alpha} \beta - \mu N \frac{\partial(\mathcal{H}A^*)}{\partial \gamma_\alpha} \beta^* + \lambda \gamma_\alpha = 0 . \quad /40/$$

Igy most már 6 egyenlet áll rendelkezésünkre /35/, /36/, /37/ és /40/ a 6 ismeretlen meghatározására. A /36/ és /37/ egyenletekből iterációval kiszámíthatjuk β és β^* értéket. Izotrop ferromágneses anyag esetében az iteráció pontos megoldást ad β és β^* -ra:

$$\beta = \beta^* = 0 . \quad /41/$$

Ekkor viszont /40/ egyenletből

$$\sigma N \mu \mathcal{H}_\alpha = \lambda \gamma_\alpha \quad /42/$$

egyenletet nyerjük és nagyon könnyű belátni, hogy a lehetséges 2 megoldásból a szabad energia minimumának a $\vec{\mathcal{H}} \parallel \vec{\gamma}$ megoldás felel meg. És így a viszonylagos mágnesezettség meghatározására, mely most $M = \sigma$ a következő transzcendens egyenletet kapjuk:

$$\frac{1}{\sigma} = \frac{v}{(2\pi)^3} \int \operatorname{cth} \frac{E_k}{2\vartheta} d\vec{k} \quad /43/$$

ahol

$$E_k = 2 \left\{ \mu \mathcal{H} + \sigma (J(0) - J(k)) \right\} . \quad /44/$$

A /43/ transzcendens egyenletet különböző közelítő feltevések mellett megoldhatjuk és akkor a mágnesezettségre a következő kifejezéseket nyerjük [2], [14], [15].

$$\sigma = \begin{cases} 1 - \sum_{j \geq 3} A_j \tau^{j/2}, & \tau < \tau_c ; & /45a/ \\ \sqrt{\frac{3}{\tau} \left(1 - \frac{\tau}{\tau_c}\right)} \left\{ 1 + \frac{1}{20} \frac{3}{\tau} \left(1 - \frac{\tau}{\tau_c}\right) + 5 \cdot 10^{-4} \left[\frac{3}{\tau} \left(1 - \frac{\tau}{\tau_c}\right)\right]^2 + \dots \right\} & \tau \leq \tau_c \quad (\tau_c - \tau \ll 1, h = 0) ; & /45b/ \\ t_0 + t_0(1-t_0^2) \frac{1}{\tau} + t_0(1-t_0^2) \left(\frac{\nu-1}{\nu} - 2t_0^2 \right) \frac{1}{\tau^2} + \dots, & \tau > \tau_c ; & /45c/ \end{cases}$$

ahol

$$\tau = \frac{\vartheta}{J(0)} ; \quad \tau_c = \frac{\vartheta_c}{J(0)} ; \quad h = \frac{\mu \mathcal{H}}{J(0)} ; \quad t_0 = \text{th} \left(\frac{h}{\tau} \right) ; \quad /46/$$

ν - a közeli szomszédos rácspontok száma. A_j együtthatók $\frac{h}{\tau}$ - tól és a kristály szerkezetétől függenek.

A /43/ transzcendens egyenletből, illetve /45a/, /45b/-ből következik, hogy a Curie hőmérsékletnél alacsonyabb hőmérsékleten van spontán mágnesezettség, vagyis $\sigma \neq 0$ ha $\mathcal{H} = 0$ és akkor rendszerünk ferromágneses állapotban van. A Curie hőmérsékletnél a spontán mágnesezettség eltűnik; $\tau > \tau_c$ esetében paramágneses állapotot kapunk. Így a /43/ transzcendens egyenlet és a /45a,b,c/ kifejezések értelmezik az egész átmenetet. Könnyen megmutatható, hogy a kapott eredmények a megfelelő határesetekben átmennek más, csak egy-egy meghatározott hőmérsékleti tartományban érvényes módszerekkel számolt eredményekbe.

Alkalmazás egytengelyű anizotrop ferromágneses anyagra. Dipol-dipol kölcsönhatás figyelembevétele

Könnyen lehet alkalmazni ezt a módszert egytengelyű anizotrop ferromágneses anyagok mágnesezettsége számítására is [9]. Egytengelyű anizotrop ferromágneses anyagra vonatkozó Hamilton operátort így írhatjuk:

$$H = -\mu \sum_{(f,\alpha)} \mathcal{H}^\alpha S_f^\alpha - \frac{1}{2} \sum_{(f_1, f_2, \alpha)} J(f_1, f_2) S_{f_1}^\alpha S_{f_2}^\alpha - \frac{1}{2} \sum_{(f_1, f_2)} \Delta(f_1, f_2) S_{f_1}^z S_{f_2}^z . \quad /47/$$

Ebben az esetben a számítások lényegesen hosszadalmasabbak, de a Green-függvény módszer alkalmazása szempontjából nehézség nem merül fel. Ebben az esetben is jól beválk az előbb megtárgyalt szétkapcsolás, a Green-függvényekre vonatkozó egyenletek alakja megegyezik az izotrop esetben kapott egyenletekével, természetesen szabad energia minimumának számítása sokkal hosszadalmasabb lesz, de a számítások automatikusan keresztül-vihetők.

Felhasználva a ferromágneses rezonancia elméletében a kétidős hőmérsékleti Green-függvény módszer segítségével kapott formulákat [10] és a Green-függvényekre [9] -ben kapott kifejezéseket, könnyen megkaphatjuk az egytengelyű anizotrop ferromágneses anyag rezonancia formuláti is [11].

Ha a dipol-dipol kölcsönhatást is figyelembe kívánjuk venni, rendszerünk Hamilton operátora az alábbi alakban irandó fel [17]:

$$H = - \sum_{(f_1)} \mu \mathcal{H} S_{f_1}^z - \frac{1}{2} \sum_{(f_1, f_2)} J(f_1, f_2) (\vec{S}_{f_1} \vec{S}_{f_2}) + \\ + \frac{1}{2} \sum_{(f_1, f_2)} \frac{\mu^2}{R_{f_1 f_2}^5} \left\{ R_{f_1 f_2}^2 (\vec{S}_{f_1} \vec{S}_{f_2}) - 3 (\vec{S}_{f_1} \vec{R}_{f_1 f_2}) (\vec{S}_{f_2} \vec{R}_{f_1 f_2}) \right\}, \quad /48/$$

ahol $\vec{R}_{f_1 f_2} = \vec{R}_{f_1} - \vec{R}_{f_2}$ az f_1 és f_2

rácspontokban lévő atomok egyensúlyi távolsága.

Könnyen beláthatjuk [12] alapján, hogy a Green-függvény módszer alkalmazása szempontjából a feladat megoldása a fentebb említettekhez képest újabb nehézségeket nem hoz, a lánc egyenletek fentiekben tárgyalt szétkapcsolása ebben az esetben is beválk. Megjegyezzük, hogy ezt a problémát érdemes a [12]-nél fizikai szempontból részletesebben tárgyalni, mely rövidesen megtörténik.

A fentiekből láthatjuk, hogy a térelméletből átvett Green-függvény módszer hasznosan alkalmazható a mágnesség elméletében. Remény van arra, hogy a mágnesség elmélete szempontjából más fontos kérdést is könnyű és áttekinthető módon lehet tárgyalni e módszer segítségével, például a vezetési elektronokkal való kölcsönhatás figyelembevétele, a rezonancia elméletében a csillapodás figyelembevétele, mely megadja a rezonancia vonalak szélességét, a fononokkal való kölcsönhatás figyelembevétele több jelenség szempontjából szintén igen lényeges. Szükséges még kidolgozni az egyenletláncok szétkapcsolásának problémáját is, mely remélhetőleg lehetővé teszi a magasabb közelítésekben való számításokat.

I r o d a l o m

- [1] Боголюбов Н.Н., Тябликов С.В. ДАН СССР 126, 53, (1959)
- [2] Тябликов С.В. Укр. мат. журнал II, 287, (1959)
- [3] Пу Фу-чо, Тябликов С.В., Шиклош Т. Acta Phys. Hung. II, 323, (1960)
- [4] Bloch, F., Z.f. Phys. 6I, 1293, /1929/
- [5] Боголюбов Н.Н., Тябликов С.В. ЖЭТФ 19, 251, (1949)
19, 256, (1949)
- Боголюбов Н.Н.: "Лекції з квантової статистики"
" Радянська школа" Киев, (1949)
- Боголюбов Н.Н., Тябликов С.В. Изв.А.Н. СССР сер.физ. 2I, 849 (1957)
- Siklós T., M.F.F. 5, 451 /1957/; 6, 579 /1958/
- [6] Dyson, F., Phys.Rev. 102, 1217 /1956/; 102, 1230 /1956/
- [7] Lásd pl. Вонсовский С.В., Шур Я.С.: "Ферромагнетизм". Гостехиздат
Москва (1948)
- [8] Orzechowsky, W., Physica 25, 476 /1959/
- [9] Тябликов С.В., Шиклош Т., Acta Phys.Hung. 12, 35 /1960/
- [10] Тябликов С.В. Ф.Т.Т. 2, 361, (1960) 2, 2009, (1960)
- [11] Тябликов С.В., Шиклош Т. Acta Phys.Hung. / в печати/
Siklós T., Tyablikov, S.V., KFKI Közl. 2, 193 /1961/
- [12] Siklós T., KFKI Közl. 2, 279 /1961/
- [13] Пу Фу-чо Д.А.Н СССР 130, 1244, (1960)
131, 546, (1960)
- [14] Бонч-Бруевич В.Л., Тябликов С.В.: "Метод функции Грина в статистической физике". Г.И.Ф.М.Л Москва (1961)
- Bonch-Bruevich V.L., Tyablikov; S.V.: "The Green Function Method in Statistical Mechanics". North-Holland Publishing Company Amsterdam, 1962.
- [15] Зубарев Д.Н. У.Ф.Н. 7I, 71, (1960)
- [16] Praveczky E., M.F.F. /közlés alatt/
- [17] Holstein, T., Primakoff, H., Phys.Rev. 58, 1098 /1940/
Akhieser, A., J.of Phys. of USSR 10, 217 /1946/

Érkezett 1962. aug. 9.

KFKI Közl. 10. évf. 5.sz., 1962.

MÉRÉSI MÓDSZER FÉMEK ÉS FÉMES ÖTVÖZETEK DIFFERENCIÁLIS TERMOFESZÜLTSGÉNEK MEGHATÁROZÁSÁRA

Irta: Tóth József

Összefoglalás

Módszert ismertetünk fém, illetve fémes ötvözet-huzalok és fóliák differenciális termofeszültségének különböző hőmérsékleten történő pontos mérésére. A módszert Cu_3Au ötvözet rend-rendezetlenség átmenetének vizsgálatára alkalmaztuk.

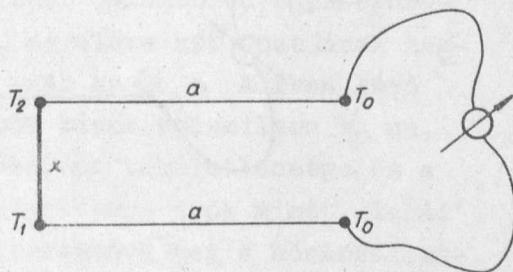
Ismeretes, hogy fémek és fémes ötvözetek bizonyos fizikai tulajdonságai rekrisztallizációnál, spin- vagy atomi rendeződésnél és különböző típusu rácshibák létrehozása esetén megváltoznak. Egy adott típusu átalakulás mértékére, sebességére, stb. e fizikai tulajdonságok mérése alapján következtethetünk. A különböző fizikai mennyiségek azonban nem azonos módon függenek az anyag strukturális változásaitól. Néha megelégedhetünk egyetlen fizikai mennyiség változásának a figyelésével, részletesebb vizsgálat, vagy bonyolultabb átalakulások esetén azonban már több mennyiség mérésére is szükség van. Rendeződő ötvözetek vizsgálatánál legtöbbször a diffrakciós felvételeken fellépő szuperrácsvonalak intenzitása és az elektromos ellenállás szerepel indikátorként. A Cu_3Au ötvözet rendeződési kinetikájának vizsgálatához kidolgoztuk a differenciális termofeszültség egy mérési módszerét. A módszer alkalmas fém és fémes ötvözet huzalok és fóliák differenciális termofeszültségének gyors és pontos mérésére.

A mérés differenciális termopárok segítségével történik. Az 1-es ábrán látható differenciális termopár termoelektromos ereje:

$$\Delta V_{xa} = \int_{T_1}^{T_2} S_x dT + \int_{T_2}^{T_0} S_a dT + \int_{T_0}^{T_1} S_a dT = \int_{T_1}^{T_2} (S_x - S_a) dT = \int_{T_1}^{T_2} S_{ax} dT \quad (T_2 > T_1) \quad /1/$$

ahol S_{ax} az "a" anyagnak az "x" anyaghoz viszonyított differenciális termofeszültsége, ($S_{ax} = -S_{xa}$), S_a , S_b és S_x pedig az "a", "b", ill. "x" anyag abszolút differenciális termofeszültsége. Kis hőmérséklet-különbségeknél S_{ax} állandónak tekinthető, ezért:

$$\Delta V_{xa} \approx S_{ax}(T')(T_2 - T_1), \quad /2/$$

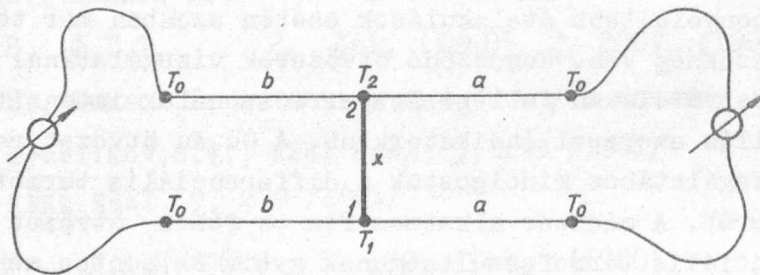


1. ábra

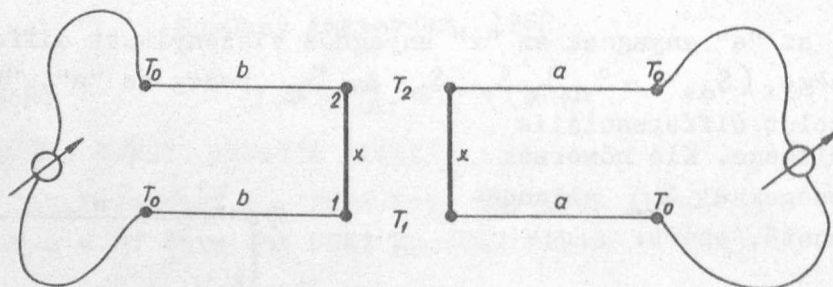
ahol, T' a T_1 és T_2 között alkalmasan választott hőmérséklet, innen:

$$S_x(T') = \frac{\Delta V_{xa}}{\Delta T} + S_a(T'), \quad (\Delta T = T_2 - T_1), \quad /3/$$

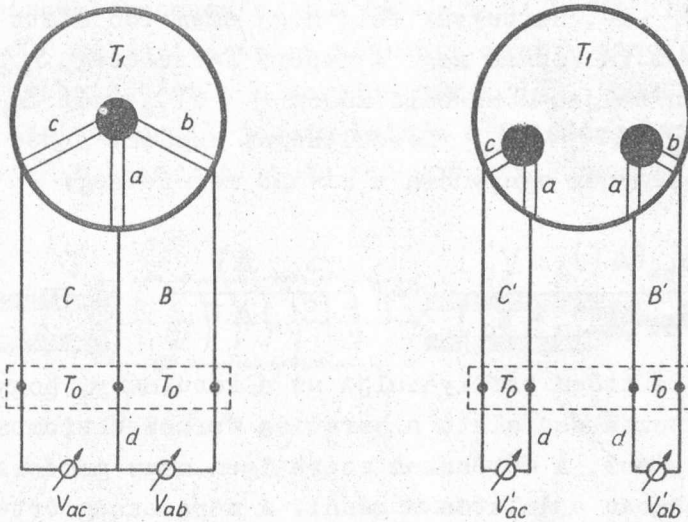
tehát $S_a(T')$ ismeretében, ΔV_{xa} és ΔT mérésével $S_x(T)$ meghatározható. ΔV_{xa} megfelelő műszerek segítségével mérhető, a hőmérsékletkülönbség mérése azonban nem ilyen egyszerű. Ugyanis kb. 1,0 - 0,1 mm átmérőjű kb. 20-40 mm hosszú huzal két vége közötti kb. 2 C° hőmérsékletkülönbséget kell mérni legalább 0,01 C°-os pontossággal. Ez megoldható a 2/a ábrán látható elrendezés segítségével. Meg kell jegyezni, hogy az ábra 1-es és 2-es pontjában, a szó szoros értelmében véve nem termopár van, hanem hármias forrasztás. A gondosan készített "termohármas" három termopárja azonban független termopárnak tekinthető. Függetlenség alatt azt értjük, hogy a 3. ábrán látható kétféle elrendezésnél /forrasztási helyek kinagyítva/ egy adott $T_1 - T_0$ hőmérsékletkülönbségnél azonos feszültségeket kapunk; $V_{ac} = V'_{ac}$ és $V_{ab} = V'_{ab}$, ha a termoelektromos erőt mérő műszer belső ellenállását végtelen nagyra számítjuk. Így a 2/a és 2/b ábrán látható elrendezés is, a kapott termoelektromos erők szempontjából azonos; vagyis a 2/a két egymástól független differenciális termopárnak tekinthető.



2.a. ábra



2.b. ábra



3. ábra

ΔT hőmérsékletkülönbség fenntartásánál a 2/a ábra két körében fellépő termoelektromos erő a következő:

$$\Delta V_{xa} = S_{ax} \Delta T \quad /4/$$

$$\Delta V_{xb} = S_{bx} \Delta T$$

Ezek alapján:

$$\Delta T = \frac{\Delta V_{xa} - \Delta V_{xb}}{S_{ab}} \quad /5/$$

S_{ab} ismeretében V_{xa} és V_{xb} mérésével T a kívánt pontossággal meghatározható. Ezt /3/-ba helyettesítve kapjuk:

$$S_x(T') = \frac{1}{1 - \frac{\Delta V_{xb}}{\Delta V_{xa}}} S_{ab}(T') + S_a(T') = \frac{1}{1 - m} S_{ab}(T') + S_a(T') \quad /6/$$

ahol, $\Delta V_{xb} / \Delta V_{xa} = m$ jelölést vezettük be. Láthatjuk, hogy nincs szükségünk a ΔV_{xa} és ΔV_{xb} feszültségek abszolút értékére, csak a $\Delta V_{xb} = m \Delta V_{xa}$ egyenes meredekségére. Figyelembe véve azt, hogy ezen feszültségek $10-20 \mu V$ között mozognak, a feladat jelentősen egyszerűsödik. Határozzuk meg az egyenes meredekségét, egyelőre két pontjának megadásával. Tegyük fel, hogy egy adott $(\Delta T)_0$ -nál az x, a körben lévő $S_{xa}(\Delta T)_0$ differenciális termoelektromos erőn kívül valamilyen V_p ún. "parazita termoelektromos erő" is van, a hidegpont tökéletlensége és a mérőkör összes kontaktusainál fellépő termoelektromos erők miatt. Tehát a mért feszültség: $S_{ax}(\Delta T)_0 + V_p$. Változtassuk meg a hőmérséklet-

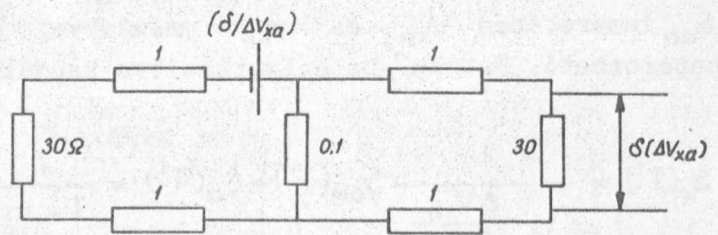
különbséget $(\Delta T)_1$ -re, és tegyük fel, hogy ezen idő alatt a parazita termofeszültségek nem változnak meg. A kapott feszültség $S_{ax}(\Delta T)_1 + V_p$ lesz. Az x, b körben teljesen hasonló módon $(\Delta T)_0$ -nál $S_{bx}(\Delta T)_0 + V_p'$ és $(\Delta T)_1$ -nél $S_{bx}(\Delta T)_1 + V_p'$ feszültséget kapunk. A két esetben mért feszültségek különbségének hányadosa a kívánt meredekség:

$$\frac{S_{bx}(\Delta T)_1 + V_p' - [S_{bx}(\Delta T)_0 + V_p']}{S_{ax}(\Delta T)_1 + V_p - [S_{ax}(\Delta T)_0 + V_p]} = \frac{S_{bx} \Delta T}{S_{ax} \Delta T} = m \quad /7/$$

A mérés pontosságát döntően befolyásolja az a körülmény, hogy a hőmérsékletkülönbség megváltoztatása alatt a parazita termoelektromos erők állandók maradnak-e, vagy sem. A méréseket ezért igen nagy gondossággal, állandó hőmérsékletű szobában ajánlatos végezni. A meredekség értékét pontosabban megkaphatjuk, ha kettőnél több hőmérsékletkülönbséghez tartozó differenciális termoelektromos erők mérése alapján legkisebb négyzetek módszerével számolunk. Ilyenkor azonban egy adott meredekség meghatározásához szükséges időtartam is megnő, ami nem mindig engedhető meg. Vegyük figyelembe azt a tényt, hogy a 2/a ábrán látható műszerek belső ellenállása nem végtelen nagy, és becsüljük meg az ebből eredő hibát, a 4. ábra tipikus értékeinek felhasználásával. 30Ω a kompenzátor munkaellenállása + galvanométer belső ellenállása, 1Ω a termopárok egy-egy ágának ellenállása, $0,1 \Omega$ a vizsgálandó minta ellenállása és a differenciális termoelektromos erő: $20 \mu V$, a leosztott feszültség pedig $(\delta(\Delta V_{xa}) = 0,06 \mu V/$. A kompenzátoron mérhető legkisebb feszültség $0,1 \mu V$. A leosztásból származó szisztematikus hiba a differenciális termofeszültség értékében $\sim 0,5 \%$.

A leosztás annál kisebb, minél kisebb a minta ellenállása.

Azonban nagyon kis ellenállás esetén a próbatest hővezetése is károsan megnő, és a méréshez szükséges hőmérsékletkülönbség csak úgy állítható elő, hogy a minta egész terjedelmében a vizsgálati hőmérséklet fölé melegszik. A próbatest

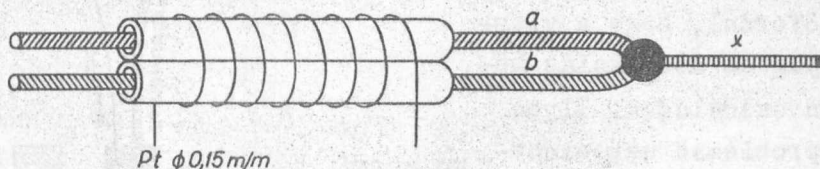


4. ábra

alakját és méreteit úgy kell megválasztani, hogy elektromos ellenállása minél kisebb legyen, és a felületéről történő lesugárzás és hőelvezetés nagyobb legyen, mint a hővezetés.

Fázisátalakulásoknál legtöbbször egy adott hőmérsékleten egy tulajdonság időbeli változását mérjük. A differenciális termofeszültségre kapott értékek mindig egy hőmérséklet- és időintervallumra vonatkoznak. A $(T_1, T_1 + \Delta T)$ és $(t_1, t_1 + \Delta t)$ intervallumban kapott értéket a

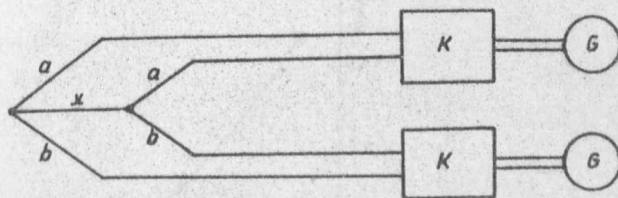
$T = T_1$ hőmérsékletéhez és a $t = (t_1 + t_2 + \Delta t) \cdot 1/2$ időpillanathoz rendeltük. /A $T = T_1$ választás azért történt, mert a tényleges mérés időtartamán kívül a próbatest teljes terjedelmével T_1 hőmérsékleten van./ A $S_T(t)$ görbe nyilván annál jobban leírja a valóságos változást, minél ki-
sebbre választjuk a hőmérséklet- és idő-intervallumot.



5. ábra

Vizsgáljuk meg egy tényleges mérés elvégzéséhez szükséges idő csökkentésének a lehetőségét. Az eddig használatos módszerek hibája az volt, hogy a hőmérsékletkülönbség létrehozására a kályha természetes [1], vagy mesterségesen alakított [2] gradiensét használták fel. A hőkezelő kályhák hőtehetetlensége pedig meglehetősen nagy. Az általunk használt hőkezelő kályha leghomogénebb részében helyeztük el az 5. ábrán látható próbatestet. A hőmérsékletkülönbség létrehozására kb. 1 W teljesítményű, kerámia kapillárisra csévélt, kis kályhát használtunk. A kályhát közvetlenül a potenciálvezetékekre helyeztük, és a forrasztási pont hővezetés útján melegszik fel. Ezzel az elrendezéssel a differenciális termopár egyik pontját 1 percnél rövidebb idő alatt kb. $2 \text{ }^\circ\text{C}$ -kal magasabb hőmérsékletű e g y e n s u l y i helyzetbe lehetett hozni. Így a tényleges méréshez szükséges idő nagyobbik részét már a kézi kompenzálás elvégzése töltötte ki. Lehetséges a meredekség meghatározásának idejét jelentősen csökkenteni, ha nem kompenzálunk, hanem a kompenzátorok galvanométereinek kitérésait közvetlenül leolvassuk /6. ábra/. Ha ugyanis az egyik galvanométer érzékenysége α_a a másiké α_b , akkor $\Delta V_{xa} = \alpha_a K_a$ és $\Delta V_{xb} = \alpha_b K_b$, ahol K_a és K_b a galvanométerek kitérése osztásrészekben. Így $m = \alpha K_a / K_b$, ahol $\alpha = \alpha_a / \alpha_b$. Nagyon fontos, hogy

hogy a két leolvasás pontosan egy időben, vagyis azonos hőmérsékletkülönbségnél történjen. Ez ugy is megoldható, hogy a hőmérsékletkülönbséget növelni kezdjük, majd lassan csökkentjük, és a maximális K_a és K_b értékeket tekintjük összetartozóknak. Itt nem várjuk meg a kis kályha árama által meghatározott új hőmérsékletkü-

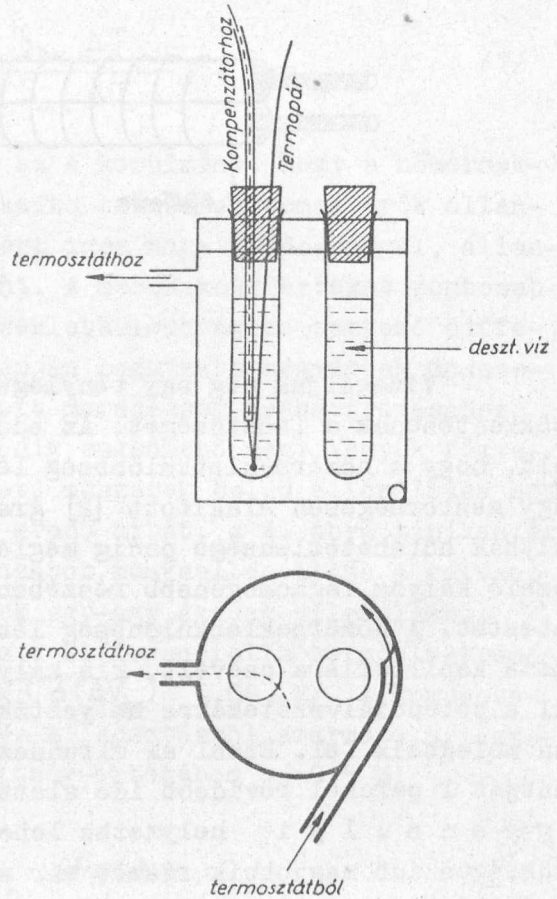


6. ábra

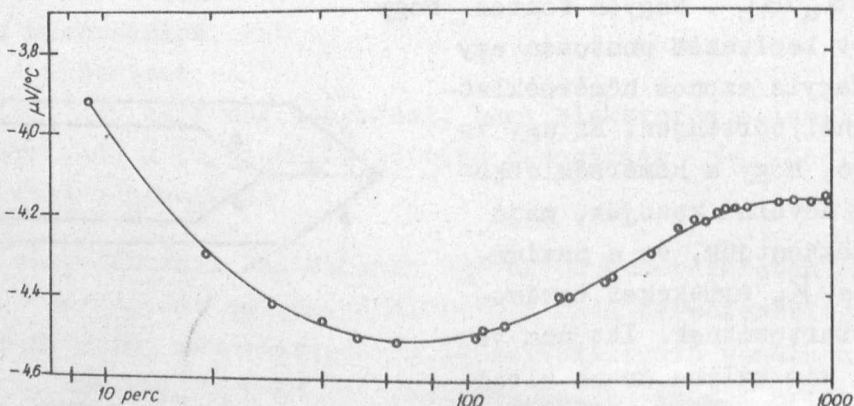
lönbség egyensúlyának beállítását, hanem a galvanométerek kitéréseit a ballisztikus galvanométeréhez hasonló módon olvassuk le. Ezzel a módszerrel a meredekség két pont alapján történő meghatározásának ideje 30 sec alá szorítható. A mérés pontossága természetesen csökken, de termofeszültség ilyen módon történő mérésével 5-15 perc alatt lezajló változások is nyomon követhetők.

Gyakran előfordul, hogy a vizsgálandó anyag az átalakulás hőmérsékletén oxidálódik. Ilyen esetben a problémát úgy oldottuk meg, hogy a differenciális termopárt evakuált, vagy védőgázzal töltött üvegsőbe forrasztottuk. A Pt, és tapasztalataink szerint a 10 %-os PtRh ötvözet normál jénai üvegbe jól forrasztható, és a mérések az üveg lágyuláspontjáig kiterjeszthetők. A termopárokat közvetlenül kell kivezetni az üvegballonból, mert bármilyen toldás egy uj, nem kívánatos differenciális termoelemnek a mérőkörbe való beépítését jelentené.

A hidegpontot nem jéggel, hanem termosztát segítségével valósítottuk meg. Az elrendezés a 7. ábrán látható. A hidegpont hőmérséklete $30\text{ }^{\circ}\text{C}$ volt.



7. ábra



8. ábra

A 8. ábrán a Cu_3Au ötvözet 365 C° -on történő rendeződése következtében a differenciális termofeszültség megváltozásának időbeli lefolyását láthatjuk.

Megköszönöm dr. Nagy Elemér professzor urnak a méréseknél előfordult problémák megoldásához nyújtott hasznos tanácsait.

Irodalom

- [1] Erez, G.; Rudman, P. S., J. Phys. Chem. Solids 18, 307 /1961/
- [2] Рудницкий А. А., Ж. Неорг. Хим. I, 1305 (1956)

Érkezett: 1962. szept. 20.

KFKI Közl. 10. évf. 5. szám, 1962.

A PULZÁLT NEUTRONKISÉRLETEK ELMÉLETÉNEK NÉHÁNY PROBLÉMÁJÁRÓL

Irta: Vértés Péter

Összefoglalás

Az alábbi cikkben a moderátor anyagokon végzett pulzált neutron kísérletek elméleti interpretációjának néhány problémáját vizsgáltuk meg az energiafüggő Boltzmann-egyenlet alapján. A végtelen közegbeli elmélet véges közegekre való alkalmazhatóságának feltételét vizsgáltuk meg részletesen. Ezzel kapcsolatban számításokat végeztünk P_1L_1 közelítésben: meghatároztuk a fluxus szerkezetét és formulát vezetünk le az extrapolációs távolságra. Kimutatjuk, hogy az un. aszimptotikus tartomány létezése nem szükséges feltétele a végtelen közegbeli elmélet véges közegekre való általánosításának.

Végezetül a P_1L_1 közelítés alapján megjegyzést teszünk $\lambda(B)$ sorfejtésének konvergencia sugarára.

1. Bevezetés

A pulzált neutronkísérletek technikája már az első Genfi Konferencia előtt fejlődésnek indult Dardel [1] Antonov [2] és mások munkássága nyomán. A mérések legegyszerűbb elmélete az egycsoport diffúziós egyenleten alapult. A mérési technika finomodása, valamint a diffúziós hűlés jelenségének felfedezése szükségessé tették az energiafüggő, illetve a transzportelméleti tárgyalás kidolgozását.

Ha egy moderátort tartalmazó edénybe neutronokat lövünk be, akkor a neutron pulzus megszűnése után a neutronfluxus

$$\phi(\underline{r}, E, \Omega, t) = \sum_n a_n \phi_{\lambda_n}(r, E, \Omega) e^{-\lambda_n t} \quad /1.1/$$

lesz, ahol λ_n -nek a

$$\left[-\frac{\lambda}{v} + \Omega \text{grad} + \Sigma_s(E) + \Sigma_a(E) \right] \phi_\lambda(r, E, \Omega) = \int_0^\infty dE' \int_{4\pi} d\Omega' \Sigma_s(E, E', \Omega, \Omega') \phi_\lambda(r, E', \Omega') \quad /1.2/$$

egyenlet sajátértékei. [3a] $\lambda_0 < \lambda_1 < \lambda_n$. Nagy t -re:

$$\phi(r, E, \Omega, t) \approx a_{\lambda_0} \phi_{\lambda_0}(r, E, \Omega) e^{-\lambda_0 t} \quad /1.3/$$

Tehát ha mérjük a pulzus lebomlását, a legalacsonyabb sajátérték meghatározható.

A mérést a

$$\lambda_0 = \alpha_0 + DB^2 - CB^4 \quad /1.4/$$

képlet segítségével értékelik ki, ahol B^2 a geometriai bucklinggel megegyező anyagi buckling. Különböző geometriai bucklingeknél mérve a α_0 , D és C együtthatók meghatározhatók. Következésképpen a pulzált mérések elmélete előtt a következő kérdések állnak:

1. Mi az α_0 , D és C együttható fizikai jelentése. Hogyan függnek ezek össze az /1.2/-ben szereplő hatáskeresztmetszetekkel.
2. Mi a geometriai buckling, azaz hogyan határozható meg a kiszámításához szükséges extrapolációs távolság.
3. Mi az /1.4/ képlet érvényességi köre. Az /1.4/formula a $\lambda(B)$ $B^2=0$ körüli Taylor sorának első tagjaiból áll. Kérdés, milyen nagy B^2 -ig elegendő a kiértékeléséhez ezt a három tagot használni. Egyáltalában milyen B^2 -re létezik a $\lambda(B)$ függvény $B^2=0$ körüli Taylor sora.

Az elméleti kutatások tárgyát eddig főleg az első kérdés képezte. Az /1.4/ formulához vezető legegyszerűbb ut az volt, hogy egysebességű diffúzió egyenletből eredő

$$\lambda = \sum \alpha_n v + D(B^2) B^2$$

képletbe utóleg becsempészték az un. diffúziós hülést [1], és így kaptak B^4 -es tagot.

Nelkin [4] a Rayleigh-Ritz féle variációs módszerrel próbálta előállítani az /1.4/ formulát. Variációs paraméterként a "neutronhőmérsékletet" használta, vagyis a tényleges neutronspektrumot megközelítő Maxwell spektrum hőmérsékletét, amely a moderátor hőmérsékleténél alacsonyabb.

Azzal a feltételezéssel, hogy a fluxus térben és energiában szeparálható, vagyis /1.2/-ből egy egysebességű egyenlet nyerhető [3b] Sjöstrand [5] levezette a $\lambda_0(B)$ függvény /az egysebességű elmélet keretei között/ exakt kifejezését és ebből az /1.4/ sorfejtést.

Singwi [6] Purohit [7] és mások [8] a P_1 közelítést alkalmazva a Laguerre sorfejtés segítségével meghatározták az α_0 , D és C együtthatókat. A Laguerre sorfejtés együtthatói közül csak az első kettőt tartották meg, azaz L_1 közelítést használtak, de kiszámították a magasabb közelítés korrekcióit is.

Végtelen közeg esetére Nelkin [9] Fourier transzformációs eljárást dolgozott ki a $\lambda(B)$ függvénynek az energiafüggő transzportegyenletből való meghatározására. Eljárásának alkalmazhatósága véges közegekre nyitvaha-

kérdés. A következő §-ban röviden vázoljuk Nelkin eljárását, utána azt úgy módosítjuk, hogy alkalmazhatósága véges közegekre nyilvánvaló legyen.

2.§. A végtelen közegbeli elmélet és kapcsolata a véges közegekkel

Egyszerűség kedvéért pillanatnyilag csak az izotrop szórás esetével foglalkozunk, és az egydimenziós transzportegyenletre szorítkozunk:

$$\left[-\frac{\lambda}{v} + \mu \frac{\partial}{\partial x} + \Sigma_s(E) + \Sigma_a(E)\right] \phi_\lambda(E, x, \mu) = \frac{1}{2} \int_0^\infty dE' \Sigma_s(E', E) \int_{-1}^1 \phi_\lambda(E', x, \mu') d\mu' \quad /2.1/$$

Fourier transzformáció és μ szerint való integrálás után kapjuk a következőt:

$$F_{0,\lambda}(E, B) = Q(E, \lambda, B) \int_0^\infty \Sigma_s(E', E) F_{0,\lambda}(E', B) dE' \quad , \quad /2.2/$$

ahol

$$F_\lambda(E, B, \mu) = \int_{-\infty}^{\infty} e^{-iBx} \phi_\lambda(E, x, \mu) dx \quad /2.3/$$

$$F_{0,\lambda}(E, B) = 2\pi \int_{-1}^{+1} F_\lambda(E, B, \mu) d\mu \quad /2.4/$$

$$Q(E, \lambda, B) = \frac{1}{B} \operatorname{tg}^{-1} \left[\frac{B}{\Sigma_s(E) + \Sigma_a(E) - \frac{\lambda}{v}} \right] \quad /2.5/$$

Az $\lambda(B)$ összefüggést és a $F_{0,\lambda}(E, B)$ függvényt sorfejtett alakban keressük:

$$F_{0,\lambda}(E, B) = \sum_{j=0}^{\infty} F_{2j}(E) (iB)^{2j} \quad /2.6a/$$

$$\lambda(B) = \sum_{j=0}^{\infty} \alpha_{2j} (iB)^{2j} = \alpha_0 + D_0 B^2 - C B^4 \dots \quad /2.6b/$$

Ezeket az egyenleteket a /2/-be helyettesítve egy integrál egyenletrendszerként kapunk az $F_{2j}(E)$ függvényekre vonatkozóan. Ezekből az integrálegyenletekből az α_{2j} együtthatók is meghatározhatók. Feltételezve az $1/v$ abszorpciót, Nelkin a következő eredményeket kapta:

$$F_0(E) = M(E)$$

$$\left(\frac{D_0}{v} - \frac{1}{3\Sigma_s} \right) M(E) = \hat{S}_0 F_2(E) \quad /2.7a/$$

$$\left(\frac{D_0}{v} - \frac{1}{3\Sigma_s} \right) F_2(E) + \left(\frac{1}{3\Sigma_s^2} \left[\frac{D_0}{v} - \frac{4}{15\Sigma_s} \right] + \frac{C}{v} \right) M(E) = \hat{S}_0 F_4(E)$$

Itt

$$\hat{S}_0 \psi(E) = \int_0^\infty \sum_s(E', E) \psi(E') dE' - \sum_s(E) \psi(E)$$

$$\alpha_0 = \sum_a v$$

$$D_0 = \frac{\int_0^\infty \frac{1}{3 \sum_s} M(E) dE}{\int_0^\infty \frac{1}{v} M(E) dE} \quad /2.7b/$$

$$C = \frac{\int_0^\infty \left(\frac{1}{3 \sum_s} - \frac{D_0}{v} \right) F_2(E) dE}{\int_0^\infty \frac{1}{v} M(E) dE} + \frac{\int_0^\infty \frac{1}{3 \sum_s^2} \left[\frac{4}{15 \sum_s} - \frac{D_0}{v} \right] M(E) dE}{\int_0^\infty \frac{1}{v} M(E) dE}$$

A /2.7a/ integrál egyenletrendszerek megoldásával a α_0, D_0 és C a /2.7b/ összefüggésekből kiszámíthatók.

Mivel a Nelkin féle tárgyalás Fourier transzformációt használ, ezért a véges kiterjedésű közegekre való alkalmazása komoly komplikációkkal járna. Ennek kiküszöbölésére a következőket javasoltuk. [10]

Induljunk ki először is a P_N közelítésből:

$$\left(\sum_s + \sum_a - \frac{\lambda}{v} \right) \phi_m(x, E) + \frac{1}{2m+1} \frac{\partial}{\partial x} \left[(m+1) \phi_{m+1}(x, E) + m \phi_{m-1}(x, E) \right] =$$

$$= \delta_{m,0} \int_0^\infty \sum_s(E', E) \phi_m(x, E') dE' \quad m = 0, 1, 2 \dots N \quad /2.8/$$

Ezt az egyenletet ne Fourier transzformáljuk, hanem mondjuk azt, hogy a megoldást a

$$\phi_m(x, E) = F_m(E, B) e^{iBx} \quad /2.9/$$

alakban keressük. Ez formálisan ugyanarra az egyenletre vezet, mint a Fourier transzformáció, de most nincs a kezünk megkötve a Fourier transzformációban impliciten felhasznált határfeltételek által. Megkeresvén ugyanis az összes lehetséges /2.9/ alakú megoldást, ezeknek lineáris kombinációjával a véges közegekre vonatkozó határfeltételek kielégíthetők. A B lehetséges értékeit, amellyel a /2.9/ megoldás, anyagi bucklingeknek nevezzük. Ezek egy sorozatot alkotnak:

$$B_0, B_1, \dots, B_k$$

Ennek a sorozatnak a konkrét meghatározásával a következő §-ban foglalkozunk a $P_1 L_1$ közelítés alapján. /Az L_1 közelítésről és általában az L_1 közelítésről lásd ott/ $P_N L_3$ közelítés esetén a sorozat $\frac{(N+1)(3+1)}{2}$ gyökpárból áll.

Irjuk fel a fent mondottak alapján a legalacsonyabb sajátértékhez tartozó teljes megoldást $P_N L_3$ közelítésben:

$$\phi(x, E, t) = e^{-\lambda_0 t} M(E) \left[\sum_{i=0}^N F_0^i(B_0) L_i^{(1)}(E) \cos B_0 x + \sum_{i=0}^N \sum_{k=1}^{(N+1)(3+1)} F_0^i(B_k) L_i^{(1)}(E) e^{i B_k x} \right] \quad /2.10/$$

Itt $L_i^{(1)}(E)$ az elsőfajú i -edrendű Laguerre polinomot jelzi. Az első tagot külön írtuk, mert az képviseli a teljes fluxus aszimptotikus részét. Ugyanis, ha minden B az első kivételével képzetes /később látni fogjuk, mikor áll elő ez a helyzet/, akkor a határfelületről távol a moderátor belsejében ez az első tag fog dominálni, tehát a fluxus:

$$\phi(x, E, t) \approx e^{-\lambda_0 t} F_0(E, B_0) \cos B_0 x$$

alaku lesz. Annak a pontnak a d távolságát a határlaptól, ahol a fenti aszimptotikus fluxus eltűnik, extrapolációs távolságnak nevezik, azaz

$$\cos B_0(\alpha+d) = 0 \quad .$$

Ebből pedig

$$B_0 = \frac{\pi}{2(\alpha+d)} \quad . \quad /2.11/$$

Tehát d ismeretében B_0 meghatározható. d -t a transzportelméleti határfeltételekből /például Marshak határfeltételekből/ kell meghatározni. Ezzel a kérdéssel a 4.§-ban foglalkozunk.

Ha egynél több B_k gyökpár valós, akkor nincs aszimptotikus tartomány, ezért a szokásos értelemben vett extrapolációs hossz nem létezik. Azonban ez nem okoz elvi nehézséget, mert ekkor is létezik egy olyan d , ahol a /2.10/ első tagja eltűnik, vagyis a lemez alaku moderátor edényhez rendelhető geometriai buckling. Tehát az aszimptotikus tartomány létezése nem szükséges feltétele a végtelen közegbeli elmélet véges közegekre való alkalmazásához.

Még egyszer rámutatunk a Nelkin féle Fourier transzformációs eljárás és a /2.9/ helyettesítéssel történő eljárás közötti lényegbeli különbségre. A két eljárás formálisan ugyanarra az eredményre vezet, de amíg a Fourier transzformációban implicite bennfoglaltatnak a határfeltételek, addig a másik eljárás esetén a határfeltételeket szabadon kiróhatjuk és így nem számít, hogy a közeg véges, vagy végtelen.

A következő két §-ban az anyagi bucklingek meghatározásával illetve az extrapolációs távolsággal foglalkozunk. $P_1 L_1$ közelítésben megvizsgáljuk az aszimptotikus tartomány létezésének feltételét, valamint az extra-

polációs távolság buckling függését. Eredményeinket összehasonlítjuk Gelbard [11] et al. P_3 közelítésbeli, sokcsoport módszerrel, gépi úton számított eredményeivel.

3.§. Adott λ_0 -hoz tartozó anyagi bucklingeek sorozata

A továbbiakban a P_1 egyenleteket használjuk a következő szórási magfüggvénnyel:

$$\Sigma_s(E, E', \Omega, \Omega') = \frac{1}{4\pi} [\Sigma_s(E \rightarrow E') + 3 P_1(\Omega, \Omega') \bar{\mu}(E) \Sigma_s(E) \delta(E-E')] \quad /3.1/$$

és bevezetjük a

$$\Sigma_{tr}(E) = \Sigma_s(E)(1 - \bar{\mu}(E))$$

jelölést. Egyszerűség kedvéért $1/V$ abszorbenssel foglalkozunk. Legyen:

$$\frac{\lambda}{V} - \Sigma_a = \frac{\kappa}{V}$$

Ezt az κ -át adottnak tekintve meghatározzuk az anyagi bucklingeeket, amelyekkel fel tudjuk írni a teljes megoldást. Mivel nemszorzó közegéről van szó $\kappa \geq 0$.

Ezekkel a rövidítésekkel az egydimenziós geometriára felírt P_1 egyenletek a következő alakot öltik:

$$\frac{1}{3(\Sigma_{tr}(E) - \frac{\kappa}{V})} \frac{\partial^2 \phi_0(E, x)}{\partial x^2} + \frac{\kappa}{V} \phi_0(E, x) = \int_0^\infty \Sigma_s(E', E) \phi_0(E', x) dE' - \Sigma_s(E) \phi_0(E, x) \quad /3.2/$$

$$\phi_1(E, x) = - \frac{1}{3(\Sigma_{tr} - \frac{\kappa}{V})} \frac{\partial}{\partial x} \phi_0(E, x) \quad /3.3/$$

Fejtsük ki a /3.2/ és /3.3/ egyenleteket az elsőfajú Laguerre polinomok segítségével:

$$\sum_{k=0}^{\infty} \left[\frac{t_{ik}}{3} \frac{\partial^2}{\partial x^2} + \gamma_{ik} + \kappa \left(\frac{1}{V} \right)_{ik} \right] \phi_0^k(x) = 0 \quad /3.4/$$

$$\phi_1^i(x) = - \frac{\partial}{\partial x} \sum_{k=0}^{\infty} t_{ik} \phi_0^k(x) \quad , \quad /3.5/$$

ahol

$$\phi_0(E, x) = M(E) \sum_{k=0}^{\infty} \phi_0^k(x) L_k^{(1)}(E) \quad /3.6/$$

$$t_{ik} = \int_0^\infty \frac{1}{\Sigma_{tr}(E) - \frac{\kappa}{V}} M(E) L_i^{(1)}(E) L_k^{(1)}(E) dE \quad /3.7a/$$

$$\phi_0^k(x) = \frac{1}{k+1} \int_0^\infty \phi_0(E, x) L_k^{(1)}(E) dE \quad /3.7b/$$

$$\left(\frac{1}{v}\right)_{ik} = \int_0^\infty \frac{1}{v} M(E) L_i^{(1)}(E) L_k^{(1)}(E) dE \quad /3.7c/$$

$$\vartheta_{ik} = -\frac{1}{2} \int_0^\infty dE \int_0^\infty dE' \sum_s (E' \rightarrow E) M(E') [L_k^{(1)}(E') - L_k^{(1)}(E)] [L_i^{(1)}(E') - L_i^{(1)}(E)] \quad /3.7d/$$

A ϑ_{ik} -t az ún. detailed balance elv

$$M(E) \sum_s (E \rightarrow E') = M(E') \sum_s (E' \rightarrow E)$$

felhasználásával hoztuk a fenti alakra. A /3.7d/-ből nyilvánvaló, hogy $\vartheta_{i0} = 0$ és $\vartheta_{ii} < 0$, ha $i > 0$.

A megoldást /2.9/-hez hasonlóan

$$\phi_m^k(x) = F_m^k(B) e^{iBx} \quad /2.9'/$$

alakban keressük.

Használjunk L_1 közelítést. Ez azt a közelítést jelenti, amelynél

$F_m^k(B) = 0$, ha $k \geq 2$. /Általában L_1 közelítésről van szó, ha $k \geq 3+1$ esetén $F_m^k(B) = 0$. /A /3.4/ és /3.5/ egyenletek L_1 közelítésben és a /2.9'/ helyettesítéssel a következők:

$$\left(-\frac{B^2 t_{00}}{3} + \kappa \left(\frac{1}{v}\right)_{00}\right) F_0^0(B) + \left(-\frac{B^2 t_{01}}{3} + \kappa \left(\frac{1}{v}\right)_{01}\right) F_0^1(B) = 0 \quad /3.4'/$$

$$\left(-\frac{B^2 t_{01}}{3} + \kappa \left(\frac{1}{v}\right)_{01}\right) F_0^0(B) + \left(-\frac{B^2 t_{11}}{3} + \kappa \left(\frac{1}{v}\right)_{11} - |\vartheta_{11}|\right) F_0^1(B) = 0$$

$$F_1^0(B) = -\frac{iB}{3} [t_{00} F_0^0(B) + t_{01} F_0^1(B)] \quad /3.5'/$$

$$F_1^1(B) = -\frac{iB}{3} [t_{01} F_0^0(B) + t_{11} F_0^1(B)]$$

és könnyen kiszámítható, hogy

$$\left(\frac{1}{v}\right)_{01} = 0,5 \left(\frac{1}{v}\right)_{00} \quad \left(\frac{1}{v}\right)_{11} = 175 \left(\frac{1}{v}\right)_{00} \quad /3.7c'/$$

A /3.4'/ homogén egyenletrendszer karakterisztikus egyenlete a következő: $x/$

$x/$ A gyökök közelítőleg egyszerűbben is kiszámíthatók /1. App. A/

$$B^4 - 3B^2 \frac{[t_{00} \kappa \left(\frac{1}{v}\right)_{11} - t_{00} |\vartheta_{11}| + t_{11} \kappa \left(\frac{1}{v}\right)_{00} - 2t_{01} \kappa \left(\frac{1}{v}\right)_{01}]}{t_{00} t_{11} - t_{01}^2} +$$

$$+ \vartheta \frac{\kappa \left(\frac{1}{v}\right)_{00} (\kappa \left(\frac{1}{v}\right)_{11} - |\vartheta_{11}|) - \kappa^2 \left(\frac{1}{v}\right)_{01}^2}{t_{00} t_{11} - t_{01}^2} = 0 \quad . \quad /3.8/$$

Akkor létezik aszimptotikus tartomány, ha /3.8/ egyik gyöke pozitív, a másik negatív

$$B_0^2 = B^2 \quad B_1^2 = -v^2 \quad .$$

Ennek nyilván az a feltétele, hogy:

$$\frac{1,5 \kappa \left(\frac{1}{v}\right)_{00} - |\vartheta_{11}|}{t_{00} t_{11} - t_{01}^2} < 0 \quad . \quad /3.9/$$

Ha $t_{00} t_{11} > t_{01}^2$ és κ nem túl nagy, akkor /3.9/ teljesül.

L_2 közelítésben karakterisztikus egyenlet gyanánt egy harmadfokú egyenletet kapunk:

$$\alpha B^6 + \beta B^4 + \gamma B^2 + \delta = 0 \quad , \quad /3.10/$$

ahol α, β, γ és δ a homogén egyenletrendszer determinánsából egyszerűen kiszámítható.

Határozzuk meg /3.10/ segítségével a korrekciót az L_1 közelítésben kapott gyökökhöz. Legyen $B^{(1)}$ az L_1 -ből és $B^{(2)}$ az L_2 -ből kapható gyök és legyen $B^{(2)} = B^{(1)} + x$, akkor x elsónél magasabb hatványait elhanyagolva:

$$x = - \frac{\alpha B^{(1)6} + \beta B^{(1)4} + \gamma B^{(1)2} + \delta}{3\alpha B^{(1)4} + 2\beta B^{(1)2} + \gamma} \quad /3.11/$$

az L_1 közelítés nyilván akkor jó, ha a /3.11/ korrekció kicsi, azaz $\left| \frac{x}{B^{(1)}} \right| \ll 1$.

Alkalmazzuk a fent elmondottakat vizre. Víznél feltesszük, hogy $\sum_{tr} (E) \sim E^{-1/2}$. Ekkor $t_{01} = -0,5 t_{00}$, tehát $t_{00} t_{11} - t_{01}^2 = 2,5 t_{00}^2 > 0$.

A ϑ_{11} kiszámítása az App. B-ben található. $\vartheta_{11} = -1,39 \text{ cm}^{-1}$.

A /3.9/ feltétel alkalmazásából adódik, hogy $\kappa \leq 1,6 \cdot 10^5 \text{ sec}^{-1}$ esetben /3.8/-nak két különböző előjelű gyöke van. A mérésre használt

tartomány kb. $0,26 \cdot 10^5 \text{sec}^{-1}$ -ig terjed, ami tehát jóval kisebb, mint a /3.9/ által megszabott határ. Vizsgáljuk meg most utólag az /3.11/ alapján, hogy jogos volt-e az L_1 közelítés használata. Azt tapasztaljuk, hogy a $0 \leq \kappa < 1,4 \cdot 10^5 \text{sec}^{-1}$ tartományban a B^2 korrekciója 10 %-nál nem nagyobb; a ν^2 korrekciója is 30 % alatt marad. Azonban κ növekedtével az L_1 közelítés egyre rosszabb eredményt ad, ezért például /3.9/-től már csak kvalitatív pontosságu becslés várható. A közelítés elromlása érthető, hiszen a $\kappa \left(\frac{1}{\nu}\right)_{00}$ fellépte egy negatív abszorpcióval ekvivalens. Az L_1 közelítés jóságát pedig az abszorpció $|\chi_{11}|$ viszony abszolút értéke szabja meg. Jelen esetben ez a viszony a

$$\frac{\kappa \left(\frac{1}{\nu}\right)_{00}}{|\chi_{11}|}$$

számot jelenti. Ahogy ez a mennyiség növekedik, úgy romlik az L_1 közelítés pontossága. Ez fizikailag érthető; mert ahogy nő a κ , úgy nő a Maxwell spektrumot eltorzító kifolyás. A $|\chi_{11}|$ nagysága pedig arra jellemző, hogy a moderátor milyen eréllyel állítja helyre a Maxwell spektrumot. A nagy $|\chi_{11}|$ jól termalizáló moderátorra jellemző.

Összefoglalva, láthatjuk, hogy viznél a mérések során fellépő legnagyobb κ -ra is létezik aszimptotikus tartomány, vagyis a fluxus

$$\phi_0(E, x) = A_B F_0(E, B) \cos Bx + A_\nu F_0(E, \nu) \text{ch} \nu x \quad /3.12/$$

alaku. Azonban egyéb, rosszabbul termalizáló moderátor /például grafit/ esetén előfordulhat, hogy nincs aszimptotikus tartomány, vagyis a fluxus nem /3.12/, hanem

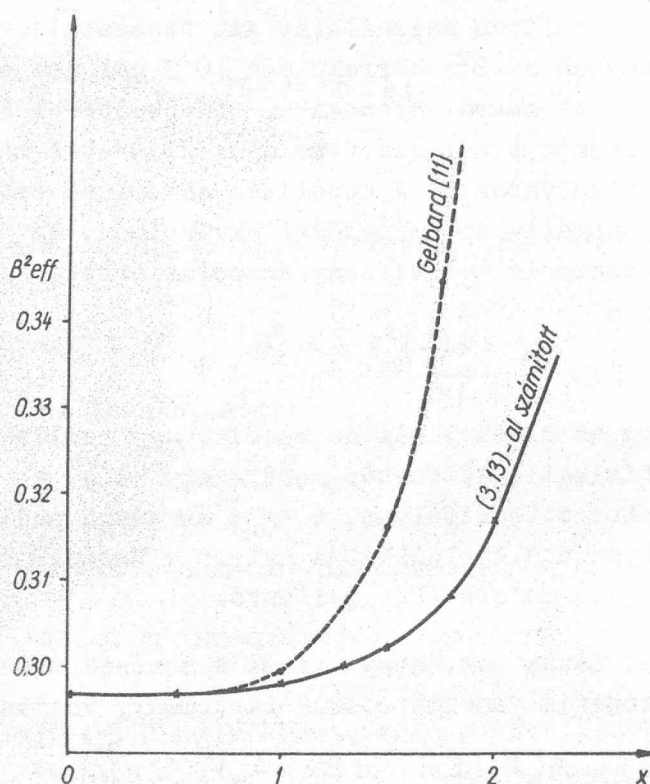
$$\phi_0(E, x) = A_0 F_0(E, B) \cos B_0 x + A_1 F_0(E, B_1) \cos B_1 x \quad /3.12'/$$

alaku a moderátor belsejében.

Az aszimptotikus tartományra a következő érdekes jellemzést lehet adni. /3.12/ segítségével képezzük a

$$\frac{\Delta \int_0^\infty \phi_0(E, x) dE}{\int_0^\infty \phi_0(E, x) dE} = -B_{\text{eff}}^2 \quad /3.13/$$

kifejezést. Ha eltekintենk a /3.12/ második tagjától, azaz csak az aszimptotikus fluxust tekintenék, akkor $B^2 = B_{\text{eff}}^2$. Így tehát B_{eff}^2 térbeli változása és B^2 -től való eltérése az aszimptotikusságtól való elhajlást jelzi. Az 1. ábrán a B_{eff}^2 látható $\kappa = 0,8 \cdot 10^4 \text{sec}^{-1}$ vagyis $B^2 = 0,296 \text{cm}^{-2}$ esetén vizre. Ez egy $a = 2,55 \text{cm}$ félvastagságu lemez bucklingjének felel meg. A folytonos vonal a /3.12/ből kapott B_{eff}^2 -et jelenti, a szaggatott pedig azt, amit Gelbard [11] kapott P_3 közeli ésben gépi uton. A két eredmény, amint látható, csak kvalitative egyezik, és ez feltehetően a P_1 közelítés P_3 -mal szembeni gyengébb volta miatt van.



1. ábra

4.§. Az extrapolációs hossz buckling függése

Foglalkozzunk először azzal az esettel, amikor a fluxus /3.12/ alakú, azaz létezik aszimptotikus tartomány.

A /3.12/ megoldásra még ki kell tüzniük a határfeltételeket. Végtelen közeg esetében a határfeltétel a következő: a fluxus legyen véges a végtelenben. Ebből: $A_y = 0$. A fizikailag értelmes megoldásnak az egész térben pozitívnak kell lenni, ezért $B = 0$. Véges $2a$ vastagságú lemez esetén a Marshak határfeltételeket használhatjuk. Ez a határfeltétel P_1 közelítésben azt írja elő, hogy

$$-\frac{1}{2} \phi_0(a, E) + \phi_1(a, E) = 0$$

Ez az egyenlet L_1 közelítésben:

$$-\frac{1}{2} \phi_0^0(a) + \phi_1^0(a) = 0$$

$$-\frac{1}{2} \phi_0^1(a) + \phi_1^1(a) = 0$$

/4.1/

A /3.3/ egyenletekből L_1 közelítésben:

$$\begin{aligned} \phi_1^0(\alpha) &= -\frac{1}{3} \frac{\partial}{\partial x} [t_{00}\phi_0^0(x) + t_{01}\phi_0^1(x)]_{x=\alpha} \quad , \\ \phi_1^1(\alpha) &= -\frac{1}{3} \frac{\partial}{\partial x} [t_{01}\phi_0^0(x) + t_{11}\phi_0^1(x)]_{x=\alpha} \quad . \end{aligned} \quad /4.2/$$

A /4.2/-öt a /4.1/-be helyettesítve és a kapott egyenletekbe /3.12/-öt írva a következő egyenletrendszert kapjuk:

$$\begin{aligned} A_B [F_0^0(B)\cos Ba - (t_{00}F_0^0(B) + t_{01}F_0^1(B)) \frac{2B}{3} \sin Ba] + \\ + A_\nu [F_0^0(\nu)\operatorname{ch}\nu a + (t_{00}F_0^0(\nu) + F_{01}(\nu)t_{01}) \frac{2\nu}{3} \operatorname{ch}\nu a] &= 0 \quad , \\ A_B [F_0^0(B)\cos Ba - (t_{01}F_0^0(B) + t_{11}F_0^1(B)) \frac{2B}{3} \sin Ba] + \\ + A_\nu [F_0^1(\nu)\operatorname{ch}\nu a + (t_{01}F_0^1(\nu) + t_{11}F_0^1(\nu)) \frac{2\nu}{3} \operatorname{sh}\nu a] &= 0 \quad . \end{aligned} \quad /4.3/$$

A /4.3/ homogén egyenletrendszer karakterisztikus egyenletéből meghatározható az a d távolság, amelyre a /3.12/ aszimptotikus része eltűnik:

$$\cos B(\alpha+d) = 0 \quad .$$

Legyen $F_0^0(B) = F_0^0(\nu) = 1$, ekkor:

$$\begin{aligned} d &= \frac{1}{B} \operatorname{tg}^{-1} \left[\frac{2B}{3} (t_{00} + F_0^1(B)t_{01}) \frac{1 - \frac{t_{11}F_0^1(B) + t_{01}}{t_{01}F_0^1(B) + t_{00}} \cdot \frac{p}{qF_0^1(\nu)}}{1 - \frac{F_0^1(B)}{F_0^1(\nu)} \cdot \frac{p}{q}} \right] = \\ &= \frac{2}{3} (t_{00} + F_0^1(B)t_{01}) \frac{1 - \frac{t_{11}F_0^1(B) + t_{01}}{t_{01}F_0^1(B) + t_{00}} \cdot \frac{p}{qF_0^1(\nu)}}{1 - \frac{F_0^1(B)}{F_0^1(\nu)} \cdot \frac{p}{q}} - \frac{8}{81} B^2 (t_{00} + F_0^1(B)t_{01})^3 \left(\frac{1 - \frac{t_{11}F_0^1(B) + t_{01}}{t_{01}F_0^1(B) + t_{00}} \cdot \frac{p}{qF_0^1(\nu)}}{1 - \frac{F_0^1(B)}{F_0^1(\nu)} \cdot \frac{p}{q}} \right)^3 , \end{aligned} \quad /4.4/$$

ahol

$$\begin{aligned} p &= 1 + (t_{00} + F_0^1(\nu)t_{01}) \frac{2\nu}{3} \operatorname{th}\nu a \quad , \\ q &= 1 + \left(t_{11} + \frac{t_{01}}{F_0^1(\nu)} \right) \frac{2\nu}{3} \operatorname{th}\nu a \quad . \end{aligned} \quad /4.5/$$

A /3.4'/ egyenletekből:

$$F_0^1(B) = \frac{\frac{B^2}{3} t_{01} - \kappa \left(\frac{1}{\nu} \right)_{01}}{\frac{B^2}{3} t_{11} + |\gamma_{11}| - \kappa \left(\frac{1}{\nu} \right)_{11}} \quad , \quad /4.6a/$$

$$F_0'(v) = \frac{-(\frac{v^2}{3} t_{00} + \kappa(\frac{1}{v})_{00})}{\frac{v^2}{3} t_{10} + \kappa(\frac{1}{v})_{01}} \quad /4.6b/$$

A $t_{00} + F_0'(B)t_{01}$ tényezőnek egyszerű fizikai jelentése van. Irjuk külön a /3.12/-ből az aszimptotikus tagot:

$$\phi_{as}(E, x) = A_B M(E) (L_0^{(1)}(E) + F_0'(B) L_1^{(1)}(E)) \cos Bx \quad /4.7/$$

Képezzük erre a $[\sum_{tr} - \frac{\kappa}{v}]^{-1}$ átlagát:

$$\frac{\int_0^\infty dE (\sum_{tr} - \frac{\kappa}{v}) \phi_{as}(E, x)}{\int_0^\infty dE \phi_{as}(E, x)} = t_{00} + F_0'(B)t_{01}$$

Tehát a fenti tényező adja a diffúziós hülésből eredő extrapolációs hossz változást, figyelembe véve a κ felléptéből adódó szabad uthossz növekedés hatását.

A /4.4/ utolsó tényezője $\kappa = 0$ esetben sem lesz általában 1, hacsak nem $t_{01} = 0$. /Például ha $\sum_{tr} = \text{konst.}$ / A $\kappa = 0$ az abszorpciómentes Milne probléma esetének felel meg, tehát ekkor azt a d -t kapjuk, amelyet egy végtelen féltér esetében kapnánk. Ismeretes, hogy a konstans hatáskeresztmetszet közelítésnél

$$d = 0,7104 < \lambda_{tr} >$$

az exact transzportelméleti eredmény. Ha szórás hatáskeresztmetszet energia függő, akkor az extrapolációs távolság nem ez lesz. Erre az utóbbi esetre Nelkin [12] variációs módszerrel kimutatta, hogy

$$d = \frac{3}{8} \frac{< \lambda_{tr}^2(E) >}{< \lambda_{tr}(E) >} + \frac{1}{3} < \lambda_{tr}(E) > \quad /4.8/$$

Az átlagolást a végtelen féltér T hőmérsékletű Maxwell spektrumára kell venni. A /4.8/-at vizre alkalmazva:

$$d = 0,758 < \lambda_{tr}(E) > \quad /4.9/$$

adódik, tehát az extrapolációs távolság a λ_{tr} energiafüggése miatt megnagyobbodik. Ilyen megnagyobbodást kapunk mi is a /4.4/ formulából.

Ugyanis /4.4/-et alkalmazva vizre $\kappa = 0$ esetre:

$$d = 0,738 t_{00} = 0,738 < \lambda_{tr} > \quad (< \lambda_{tr} > = t_{00}), \quad /4.10/$$

szemben az ismert P_1 közelítésbeli $d = 2/3 < \lambda_{tr} >$.

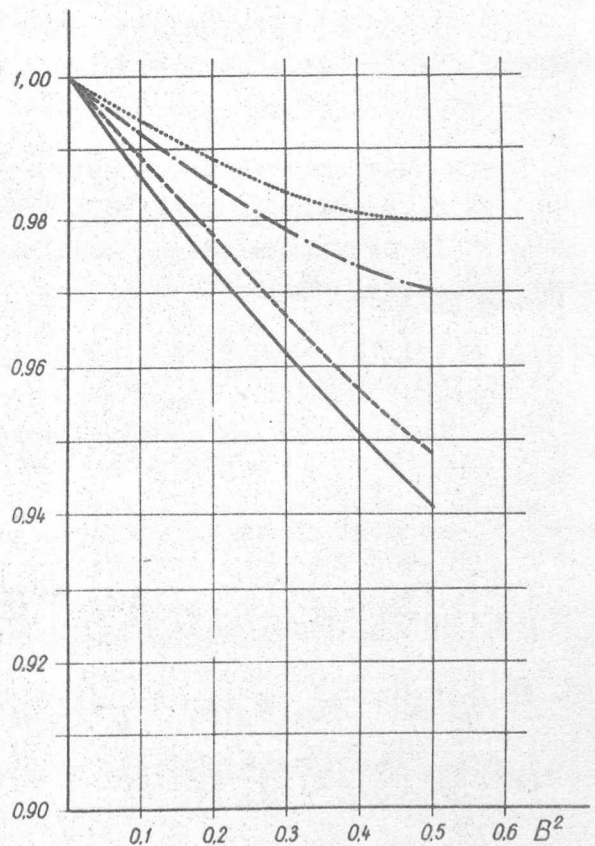
Foglalkozzunk most a $\kappa \neq 0$ esettel. Gelbard et al. [11] P_3 közelítésben kiszámították különböző vastagságu lemezek λ -ját is. A λ -ból

a /14/ képlet segítségével kiszámították a B^2 -et, és ebből /2.11/ segítségével a d -ét. Így megkapták d -ét mint B^2 függvényét. Mi a d/d_0 függést vetjük össze, ahol d_0 a $B^2 = 0$ -hoz tartozó extrapolációs távolság. A 2. ábrán a szaggatott vonal jelzi Gelbard, a folytonos pedig a mi görbénket, amit a /4.4/ alapján kapunk. Látható, hogy a $P_1 L_1$ közelítés eredménye közel jár a Gelbard pontosabb, gépi számolás útján nyert eredményeihez. A /4.9/ eltérése a /4.10/-től a P_1 közelítés hibája a P_3 -hoz képest. /Gelbard is $d_0 = 0,758 \langle \lambda_{tr} \rangle$ -at kapott./ Ha tehát a 0,738 számot 0,758-ra korrigáljuk, akkor már az L_1 közelítéssel is jól megkapjuk az extrapolációs hossz buckling függését.

Érdeemes még ábrázolni a $\frac{d}{d_0} \frac{\langle \lambda_{tr} \rangle_0}{\langle \lambda_{tr} \rangle}$ mennyiséget is. Ez a mennyiség az ún. hülésen tuli effektust jelzi és azt mutatja, hogy nem csupán a hülés okoz extrapolációs távolság csökkenést, hanem van egy másik jelenség is, amelynek általában nincs szemléletes fizikai jelentése. A 2. ábrán a pontozott görbe jelzi a Gelbard által számított

$\frac{d}{d_0} \frac{\langle \lambda_{tr} \rangle_0}{\langle \lambda_{tr} \rangle}$ mennyiséget, a karikázott görbe pedig a /4.4/ alapján számítottat. Látható, hogy a kétféle számítás eredménye itt is közel jár egymáshoz^{x/}.

Eddig feltettük, hogy van aszimptotikus tartomány. Nézzük meg, hogy mi van akkor, ha ilyen nem létezik, tehát, ha mindkét gyök pár valós és a fluxus /3.12'/ alaku. Ekkor a fenti számítás ugyanugy végigvihető, mint az előbbi esetben. A különbség mindenütt az, hogy v_{thva} helyébe



— $\frac{d}{d_0}$ a(4.4) alapján — $\frac{d\lambda_{tr}(0)}{d_0\lambda_{tr}(B^2)}$ a(4.4) alapján
 - - - $\frac{d}{d_0}$ Gelbard [II] ····· $\frac{d\lambda_{tr}(0)}{d_0\lambda_{tr}(B^2)}$ Gelbard [I]

2. ábra

^{x/} Megjegyzendő, hogy az extrapolációs hossz méretfüggése nemcsak az energiatfüggő tárgyalás során lép fel. Sjöstrand [5] P_3 közelítésben az egy-csoport elmélet alapján is kapott buckling függést. Ez azonban jóval kisebb annál, mint amit az energiatfüggés figyelembevételével kapunk.

- $B_1 \operatorname{tg} B_1 \alpha$ -t kell írni. /Megjegyzendő azonban, hogy ebben az esetben már ajánlatos az L_1 -nél magasabb közelítést használni, mert - mint mondtuk - ez az eset olyan nagy κ -ra következik be, amelynél az L_1 közelítés legfeljebb csak kvalitatív képet adhat./

Most is kapunk egy d -ét, ennek azonban nincs az a megszokott fizikai jelentése, mint az extrapolációs hosszak, de ez d is szokott módon felhasználható a geometriai buckling meghatározására.

5.5. Megjegyzés a $\lambda(B)$ -sor konvergenciájáról

Most nézzük meg, hogyan lehet válaszolni a bevezetőben felvetett harmadik kérdésre a $P_1 L_1$ közelítés alapján.

Mint már említettük, komoly akadályt gördíthet a pulzált mérések utjába az /1.4/ formula korlátolt érvényessége. A $P_1 L_1$ közelítésben ezt a kérdést is megvizsgálhatjuk közelebről. Mindenekelőtt /3.4/ karakterisztikus egyenletét rendezzük κ -ra:

$$\kappa^2 \left[\left(\frac{1}{V} \right)_{00} \left(\frac{1}{V} \right)_{11} - \left(\frac{1}{V} \right)_{01}^2 \right] + \kappa \left[- \left(\frac{1}{V} \right)_{00} \left(\frac{B^2}{3} t_{11} + |\gamma_{11}| \right) - \frac{B^2}{3} t_{00} \left(\frac{1}{V} \right)_{11} + 2 \frac{B^2}{3} t_{01} \left(\frac{1}{V} \right)_{01} \right] + \frac{B^4}{9} (t_{00} t_{11} - t_{01}^2) + \frac{B^2}{3} t_{00} |\gamma_{11}| = 0 \quad /5.1/$$

és a B^2 -et most adottnak tekintve megoldjuk az /5.1/ egyenletet:

$$\kappa = \left\{ \frac{B^2}{3} \left[t_{11} \left(\frac{1}{V} \right)_{00} + t_{00} \left(\frac{1}{V} \right)_{11} - 2 \left(\frac{1}{V} \right)_{01} t_{01} \right] + \left(\frac{1}{V} \right)_{00} |\gamma_{11}| \pm \left[\left(\frac{B^2}{3} \left[t_{11} \left(\frac{1}{V} \right)_{00} + t_{00} \left(\frac{1}{V} \right)_{11} - 2 \left(\frac{1}{V} \right)_{01} t_{01} \right] + \left(\frac{1}{V} \right)_{00} |\gamma_{11}| \right]^2 - 4 \frac{B^2}{9} (t_{00} t_{11} - t_{01}^2 + \frac{B^2}{3} t_{00} |\gamma_{11}|) \left[\left(\frac{1}{V} \right)_{00} \left(\frac{1}{V} \right)_{11} - \left(\frac{1}{V} \right)_{01}^2 \right] \right]^{\frac{1}{2}} \right\} \cdot \left\{ 2 \left[\left(\frac{1}{V} \right)_{00} \left(\frac{1}{V} \right)_{11} - \left(\frac{1}{V} \right)_{01}^2 \right] \right\}^{-1}, \quad /5.2/$$

mivel a kisebbik κ iránt érdeklődünk, a négyzetgyök előtt negatív előjelet kell vennünk. Ahhoz, hogy /5.2/-ből egy $B=0$ körüli Taylor sort nyerjünk, a

$$\frac{2}{3} \frac{B^2}{\left(\frac{1}{V} \right)_{00} |\gamma_{11}|} \left[\left(\frac{1}{V} \right)_{00} (t_{11} \left(\frac{1}{V} \right)_{00} - \left(\frac{1}{V} \right)_{11} t_{00}) + 2 \left(\frac{1}{V} \right)_{01} (t_{00} \left(\frac{1}{V} \right)_{01} - t_{01} \left(\frac{1}{V} \right)_{00}) \right] = x \quad /5.3/$$

$$\frac{B^4}{9 \left(\frac{1}{V} \right)_{00} |\gamma_{11}|^2} \left\{ \left[t_{11} \left(\frac{1}{V} \right)_{00} - \left(\frac{1}{V} \right)_{11} t_{00} - 2 t_{01} \left(\frac{1}{V} \right)_{01} \right]^2 - 4 [t_{00} t_{11} - t_{01}^2] \left[\left(\frac{1}{V} \right)_{00} \left(\frac{1}{V} \right)_{11} - \left(\frac{1}{V} \right)_{01}^2 \right] \right\} = y \quad /5.4/$$

mennyiségek szerint kell sorbafejteni egy törtet illetve egy gyök alatti kifejezést. Ekkor a következő sort kapjuk:

$$\lambda = \sum_a \bar{v} + \frac{t_{00}}{3\left(\frac{1}{v}\right)_{00}} B^2 - \frac{1}{9} \frac{t_{00}^2}{|\chi_{11}| \left(\frac{1}{v}\right)_{00}} \left[\frac{t_{01}}{t_{00}} - \frac{\left(\frac{1}{v}\right)_{01}}{\left(\frac{1}{v}\right)_{00}} \right]^2 \cdot B^4 \quad /5.5/$$

Az /5.5/ alatti sor akkor konvergens, ha

$$\begin{aligned} x &< 1, \\ y &\leq 1. \end{aligned} \quad /5.6/$$

A bevezetőben említettük, hogy az általános transzportegyenletből egy sebességű egyenlet vezethető le az esetben, ha a $\phi(r, E, \Omega)$ mennyiség térben és energiában való szeparálhatóságát feltételezzük. Az egysebességű transzportegyenletből S_j strand a következő formulát kapta $\lambda(B)$ összefüggésként [5]:

$$\lambda = \sum_a \bar{v} + \sum_s \bar{v} \left[1 - \frac{B}{\sum_s} \frac{1}{\text{tg} \frac{B}{\sum_s}} \right] \quad /5.7/$$

Az /5.7/ formula akkor fejthető $B=0$ sorba, ha $\frac{B}{\sum_s} < \frac{\pi}{2}$ konkrét esetben /pl. viznél/ könnyen meg lehet győződni arról, hogy ez a kritérium jóval nagyobb bucklingeket enged meg, mint /5.6/. \sum_s alatt természetesen egy Maxwell spektrumra átlagolt hatáskeresztmetszetet kell érteni./

A konvergencia sugár vizre /5.6/ /5.3/, illetve /5.4/ alapján:

$$(x < y) B_{\max}^2 = 2,25 \text{ cm}^{-2}.$$

A mérések során az eddig használt legnagyobb B^2 , mint említettük, $0,96 \text{ cm}^{-2}$.

Ezúton mondok köszönetet Pál Lénárd akadémiai levelező tagnak és Kosály György kollégámnak az értékes észrevételekért és diszkusszióért.

Appendix A

A /3.4/ egyenletrendszerből egyszerűen megkaphatjuk a B_i^2 sorozatot, ha első közelítésben elhanyagoljuk a diagonális tagokat; ekkor:

$$B^2 = 3 \frac{x\left(\frac{1}{v}\right)_{ii} - |\chi_{ii}|}{t_{ii}} \quad /A1/$$

A /3.4/ egyenletekből leolvasható, hogy az /A1/ formula akkor jó közelítés, ha

$$|\gamma_{ii}| \gg |\gamma_{ik}| \quad i \neq k \quad i \neq 0 \quad /A2/$$

$$|\gamma_{ii}| \gg \kappa \left(\frac{1}{v}\right)_{ii} \quad /A3/$$

$$|t_{ii}| \gg |t_{ik}| \quad i \neq k \quad /A4/$$

Nézzük meg, hogyan elégíthetők ki ezek a feltételek. Nehézgázra, mint ismeretes:

$$\gamma_{ik} = -i(i+1)\xi \sum_s \delta_{ik}$$

Tehát nehézgáz, vagy attól kevésbé különböző moderátor esetén /A2/ teljesül. Még közönséges víz esetén is igaz, hogy

$$\frac{\gamma_{12}}{\gamma_{11}} = 0,25$$

Remélhető, hogy a többi γ_{ik} -ra is hasonló nagyságrendű arány áll fent.

Az /A3/ feltétel a κ nagyságának szab korlátot. /Tehát az /A1/ közelítés csak elegendően kis κ -ra érvényes.

Az /A4/ feltétel teljesülése a $\sum_{tr}(E)$ energiafüggésétől függ. Adott esetben konkrétan megvizsgálandó. Víz esetében például

$$\left| \frac{t_{01}}{t_{00}} \right| = 0,5 \quad \left| \frac{t_{12}}{t_{11}} \right| = 0,43 \quad \left| \frac{t_{02}}{t_{03}} \right| = 0,125$$

Az /A1/ közelítés előnye, hogy segítségével áttekinthető a B_i^2 gyökök sorozata, függetlenül attól, hogy milyen L_g közelítést használtunk.

Az /A1/ alkalmazásával /3.9/ helyett a

$$1,75 \kappa \left(\frac{1}{v}\right)_{00} < |\gamma_{11}|$$

kritérium adódik az asszimptotikus tartományra.

Appendix B

A γ_{11} kiszámítása mérés, vagy egyéb számítás útján nyert C értékből történhet.

Az /5.5/ és /1.4/ formula összehasonlításából leolvasható, hogy

$$C = \frac{1}{9} \frac{t_{00}^2}{|\gamma_{11}| \left(\frac{1}{v}\right)_{00}} \left[\frac{t_{01}}{t_{00}} - \frac{\left(\frac{1}{v}\right)_{01}}{\left(\frac{1}{v}\right)_{00}} \right]^2 \quad /B1/$$

Ez a jelöléstől eltekintve azonos az irodalomban jól ismert formulával [4][6][7].

A /B1/-ből:

$$|\delta_{11}| = \frac{1}{9} \frac{t_{00}^2}{\left(\frac{1}{v}\right)_{00} C} \left[\frac{t_{01}}{t_{00}} - \frac{\left(\frac{1}{v}\right)_{01}}{\left(\frac{1}{v}\right)_{00}} \right]^2 \quad /B2/$$

Mi a Gelbard et al. [11] által adott C -t használtuk
/ $C = 0,036 \text{ cm}^4/\text{sec}$ /, mivel eredményeinket az övével akartuk összevetni.

Irodalom

- [1] von Dardel, G.F.; Sjöstrand, N.G., Phys.Rev. 96. 1245 /1954/
- [2] Antonov, A.V. et al. Proc.Int.Conf. on Peaceful Uses of Atomic Energy, Geneva 1955. 5., 3, 82.
- [3] Davison, B.T., The Neutron Transport Theory, Oxford Clarendon Press, 1957. a. 29 oldal - b. 43 oldal
- [4] Nelkin, M.: J.Nucl.Energy 8. 48. /1958/
- [5] Sjöstrand, N.G., Ark. för Fysik 15. 147. /1959/
- [6] Singwi, K.S., Ark. för Fysik 16. 385. /1960/
- [7] Purohit, S.N., Nucl.Sci.Eng. 9. 157. /1960/
- [8] Häfele, W.; Dresner, L., Nucl.Sci.Eng. 7. 304. /1960/
Virkkunen, J.: Ann.Acad.Scient.Fennicae A. VI. 51.
- [9] Nelkin, M., Nucl.Sci.Eng. 7. 210. /1960/
- [10] Kosály G.; Vértes P.; Weiss, Z., Előadás a bukaresti reaktorfizikai konferencián /1961/
- [11] Gelbard, E.J.; Davis, J.; Pearson, J., WAPD-T-1065 /1959/
- [12] Nelkin, M., Nucl.Sci.Eng. 7. 552. /1960/

Érkezett 1962. júl. 17.

KFKI Közl. 10. évf. 5. szám, 1962.

NUKLEÁRIS DETEKTOROK JELEIT UTÁNZÓ ÁRAMKÖRÖK SZÁMITÁSA

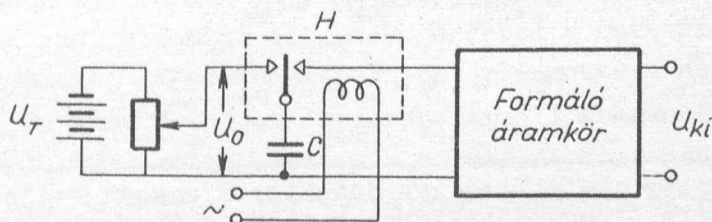
Irta: Csákány Antal

Összefoglalás:

A cikk a nukleáris detektorok jeleit utánzó áramkörök paramétereinek közötti összefüggéseket vizsgálja. A formáló áramkörül szolgáló négy pólusra vonatkozó megkötésből elméleti úton gyakorlatban megvalósítható áramkört szarmasztat le. Bevezeti két áramkör tervezési képleteit és bevezet egy kihasználási-tényezőt, melynek alapján a különböző áramkörök célszerűen összemérhetők.

Bevezetés

A nukleáris detektorok egy része /ionizációs-kamrák, szcintillációs és félvezető detektorok/ által szolgáltatott impulzusszerű jelek hasznosítani kívánt információtartalmát ezen jelek csúcserőssége, amplitúdója jelenti. Ezt az információt feldolgozó rendszerek /erősítők, diszkriminátorok, amplitúdó-analizátorok/ linearitásával és stabilitásával szemben az idők folyamán egyre komolyabb követelmények támadtak, és így a készülékek elektromos beméréséhez szükséges impulzusgenerátor sem választható az impulzustechnikában megszokott elven működő jelgenerátorok közül. Ennek oka az, hogy a 10^{-3} - 10^{-4} stabilitási és szabályozhatósági igényeknek elektroncsövet tartalmazó áramkörök már nem tudnak eleget tenni. A megoldás évek óta közismert, és a ma már számos cég által gyártott pergés-mentes és kicsiny kontakt potenciálu higanynedvesítésű kapcsoló alkalmazásával egyszerűnek is mondható. Az 1. ábra ezen generátorok elvi rajzát mutatja: a rendszerint hálózati - vagy ahhoz közel álló - frekvenciával mozgatott H morzeérinthező a periódus egyik felében U_0 potenciálra tölti a C kondenzátort, majd a periódus másik felében a formáló áramkörön keresztül kisüti. A kimenő impulzus a formáló áramkör kimenetéről vehető le [1, 2, 4].



1. ábra

A viszonylag kicsi ismétlődési frekvenciáért kárpótol az áramkör rendkívüli egyszerűsége, az impulzus amplitúdó könnyű és pontos szabályozhatósága, a szinte kizárólag csak a telepfeszültség stabilitásától függő amplitúdó stabilitása.

A továbbiakban a kondenzátor kisütését végző formáló áramkör tervezését fogjuk áttekinteni. Ennek az áramkörnek a célja valamely nukleáris detektor jelével azonos időbeli lefolyású kimenő impulzus kialakítása.

A kimenő jelalak és a formáló áramkör paramétereinek összefüggése

A detektorok olyan áramgenerátorok, melyek $J = J_0 e^{-t/\tau_d}$ ($t \geq 0$) lefolyású áramimpulzust szolgáltatnak a párhuzamos ellenállásból és kapacitásból álló detektoráramkörre /3/.^{x/} A viszonyokat a 2. ábra tünteti fel. / τ_d a detektor lecsengési időállandója, J_0 a detektált részecske energiájával arányos./A kimenőfeszültség Laplace-transzformáltja az áramimpulzus transzformáltjának és a párhuzamos R_i - C_i elemek operátor-impedanciájának ismeretében:

$$\mathcal{L}\{u_{ki,d}\} = \mathcal{L}\{J\} \frac{R_i}{1+p\tau_i} = J_0 R_i \tau_d \frac{1}{1+p\tau_d} \frac{1}{1+p\tau_i} = U' \frac{1}{ap^2 + bp + 1} \quad /1/$$

Számításaink alapja, hogy az 1. ábra szerinti áramkörben a kondenzátor kisülése következtében létrejövő kimenőjel Laplace-transzformáltjának /1/-gyel azonos alakúnak kell lennie.

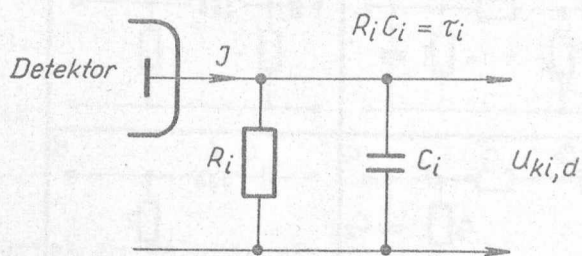
A kisülés folyamatát a 3. ábra szerinti áramkörben vizsgáljuk. Az 1. és 3. ábra áramkörének a kisülés időtartama alatti ekvivalenciája egyszerűen igazolható, azonban míg az 1. ábra kondenzátorának kezdeti töltése U_0/C , a 3. ábra kondenzátorának kezdeti feszültsége zérus, így a számítások formailag egyszerűbbek.

Ha a formáló áramkör egy olyan négypólus, melynek láncparaméterei a következő egyenletekkel definiáltak, /a kis betűk a megfelelő feszültség-időfüggvények Laplace-transzformáltjait jelölik/

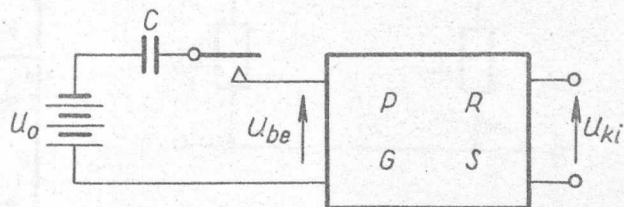
$$u_{ki} = P u_{be} + R i_{be} \quad /2/$$

$$i_{ki} = G u_{be} + S i_{be} \quad /3/$$

^{x/} Ez a feltételezés szcintillációs detektorok esetén teljesen helytálló. Ionizációs-kamra típusú detektorok esetén az áramimpulzus közel négyzetes, így ezek jeleinek utánzása matematikai pontossággal az áram-idő-függvény két ugrásfüggvényből összetett volta miatt az 1. ábra szerinti áramkör egyetlen ugrásfüggvényével nyilvánvalóan nem lehetséges.



2. ábra



3. ábra

és figyelembe vesszük, hogy

$$u_{be} = u_0 - R_b i_{be} \quad / \text{ahol} \quad R_b = \frac{1}{pC} \quad / 4 /$$

továbbá, hogy $i_{ki} = 0$ /külön terhelő ellenállást nem alkalmazunk/, akkor a kimenőfeszültség u_{ki} és a bemenőfeszültség $u_0 = u_0 \frac{1}{p}$ között a következő összefüggés áll fenn:

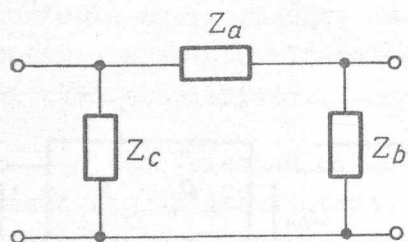
$$u_{ki} = \frac{PS - GR}{S - R_b G} u_0 = \frac{PS - GR}{pCS - G} U_0 C \quad / 5 /$$

A detektor-jellel azonos lefolyású időfüggvényt előállító négypólus lánccparamétereinek olyanoknak kell tehát lenniük, hogy azokat /5/-be behelyettesítve, /1/ által megszabott összefüggést nyerjük.

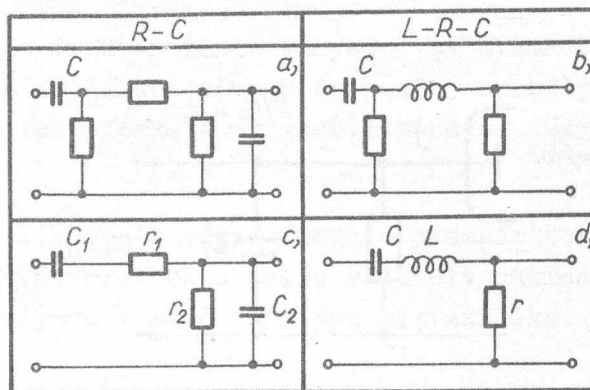
A formáló áramkör realizálása R-L-C elemekkel

A négypólus közelebbi meghatározása érdekében az eddigi teljes általánosság feladásával feltesszük, hogy az a 4. ábra szerinti elemekből van összeállítva.

Az itt szereplő kétpólusokra a megvalósíthatóság érdekében azt kötjük ki, hogy azok egyszerűek legyenek, vagyis L-R illetve C-R elemek soros vagy párhuzamos kapcsolásából álljanak. Ezekből a feltevésekből a Függelék alapján két egymástól független kapcsolási elrendezésű négypólus származtatható le. Az 5. ábra a teljes impulzus-formáló áramkört tünteti fel, vagyis a négypólushoz csatlakoztatva a kisütendő kondenzátort is /C/ minden alkalommal felrajzoltuk. Észrevéve azt, hogy egy egyszerűbb négypólus is kielégítheti az /5/ feltételt, $Z_c \rightarrow \infty$ a fenti megoldások két egyszerűbb kivitele /5. ábra c és d/ is előállítható.



4. ábra



5. ábra

Megjegyezzük, hogy az 5. ábra nem tartalmazza a feladat összes lehetséges megoldását, mert a 4. ábránál összetettebb, több elemet tartalmazó, vagy alapvetően más felépítésű kiinduló négyfólyussal, vagy az 5. ábra szerinti négyfólyussal, de komplikáltabb kétfólyus impedanciákkal /magasabb fok-számú polinomok/ további megoldásokat állíthatunk elő. Ez esetben azonban a kétfólyusok zérushelyei és pólyusai között a gyakorlatban kellő biztonsággal alig megvalósítható kikötéseknek kell fennállniuk.

Az áramkörök tervezése

A gyakorlati megvalósítás szempontjából a legkevesebb kapcsolási elemet tartalmazó áramkörök a legfontosabbak. Ezért a továbbiakban csak az 5.c. és d. ábra kapcsolási elemeit fogjuk meghatározni.

L.R.C. áramkör /5.d. ábra/

A tervezési képletek meghatározásához feltesszük, hogy τ_d és τ_i -vel adott, az /1/-gyel megegyező alaku kimenőjelet kívánunk előállítani. Ismertnek tételezzük fel továbbá r értékét, mert ez a tervezendő generátor kimenő ellenállásaként egyéb feltételekből rendszerint adott. Az áramkör kimenőfeszültsége:

$$u_{ki} = \frac{Crp}{p^2LC + pC + 1} u_o = \frac{1}{p^2 + p\frac{L}{r} + \frac{1}{LC}} u_o \frac{r}{L} \quad /6/$$

/6/ és /1/ azonosságához nyilván /6/ nevezőjének gyökhelyeinek $-1/\tau_d$ és $-1/\tau_i$ értékűnek kell lenniök. Ebből következik, hogy

$$\frac{1}{\tau_d} + \frac{1}{\tau_i} = \frac{r}{L} \quad /7/$$

$$\tau_d \tau_i = LC \quad /8/$$

Áramkörünk tehát a kívánt impulzust szolgáltatja, ha elemeit

$$L = r \frac{\tau_d \tau_i}{\tau_d + \tau_i} \quad /9/$$

és

$$C = \frac{\tau_d + \tau_i}{r} \quad /10/$$

értéküre választjuk.

Meghatározhatjuk azt is, hogy az ugrásfüggvény amplitudója, illetve a kondenzátor kezdeti feszültségének függvényében a kimenőjel csúcserőértéke mekkora. A kimenőfeszültség-idő függvény:

$$\mathcal{L}^{-1}\{u_{ki}\} = \mathcal{L}^{-1}\left\{U_0 \frac{\tau_d + \tau_i}{\tau_i - \tau_d} \left(\frac{1}{p + 1/\tau_i} - \frac{1}{p + 1/\tau_d} \right)\right\} = U_0 \frac{\tau_d + \tau_i}{\tau_i - \tau_d} \left(e^{-\frac{t}{\tau_i}} - e^{-\frac{t}{\tau_d}} \right) \quad /11/$$

A függvény maximuma a $t_m = \frac{\tau_d \tau_i}{\tau_i - \tau_d} \ln \frac{\tau_i}{\tau_d}$ helyen van. Bevezetve az áramkör kihasználási fokára jellemző $K = \frac{U_{ki \max}}{U_0}$ értéket, /11/-el átrendezve kapjuk:

$$K = \frac{x+1}{x-1} \xi \quad /12/$$

ahol

$$x = \frac{\tau_i}{\tau_d} \quad \xi = \left(1 - \frac{1}{x} \right) x^{-\frac{1}{x-1}}$$

K értéke a vizsgált kapcsolásban kizárólag τ_i és τ_d függvénye, a kapcsolási elemek értékétől független.

C-R áramkör /5.c. ábra/

A C-R áramkör tervezése az előzőtől némileg eltér: az áramköri elemek számának növekedése egy újabb tervezési paraméter megválasztásában enged szabadkezet. Az előzőekben felvett τ_i és τ_d adatokon kívül felvehetjük a K kihasználási tényezőt is. Az áramkör kimenőfeszültsége:

$$u_{ki} = \frac{p \tau_{12}}{p^2 \tau_1 \tau_2 + p(\tau_1 + \tau_2 + \tau_{21}) + 1} \frac{U_0}{p} \quad /13/$$

ahol $\tau_1 = r_1 C_1$; $\tau_2 = r_2 C_2$; $\tau_{21} = r_2 C_1$; $\tau_{12} = r_1 C_2$

Ha /13/ gyökei ismét $-\frac{1}{\tau_i}$ és $-\frac{1}{\tau_d}$, akkor

$$\mathcal{L}^{-1}\{u_{ki}\} = U_0 \frac{1}{\tau_{12}} \frac{\tau_d \tau_i}{\tau_i - \tau_d} (e^{-1/\tau_i} - e^{-1/\tau_d}) \quad /14/$$

A maximum helyét t_m behelyettesítve és bevezetve a

$$\frac{\tau_d \tau_i}{\tau_i - \tau_d} \frac{1}{\tau_{12}} = k \quad /15/$$

jelölést,

$$K = k \xi \quad /16/$$

A tervezéshez még a /13/-ból nyerhető

$$\frac{1}{\tau_d} + \frac{1}{\tau_i} = \frac{1}{\tau_2} + \frac{1}{\tau_1} + \frac{1}{\tau_{12}} \quad /17/$$

és

$$\frac{1}{\tau_d \tau_i} = \frac{1}{\tau_1 \tau_2} \quad /18/$$

összefüggéseket is felhasználhatjuk. /15/,- /17/ és /18/-ból τ_2 -re a következő értéket nyerjük:

$$\tau_2 = \frac{\tau_1(1-k) + \tau_d(1+k) \pm \sqrt{[\tau_1(1-k) + \tau_d(1+k)]^2 - 4\tau_d\tau_i}}{2} \quad /19/$$

τ_2 -re csak akkor kapunk pozitív, valós mennyiséget, ha

$$k \leq \frac{\sqrt{\tau_i} - \sqrt{\tau_d}}{\sqrt{\tau_i} + \sqrt{\tau_d}} \quad /20/$$

Ez az eredmény fizikai szempontból egyáltalán nem meglepő, hiszen nyilván nem vehetünk fel K értékére 1-nél nagyobb számot.

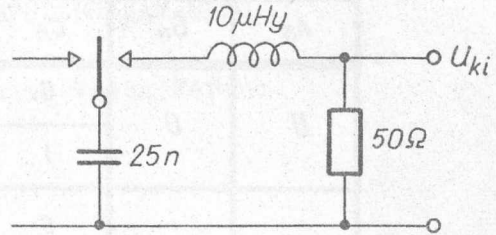
τ_2 ismeretében C_2 meghatározható, majd /15/ felhasználásával r_1 is. Ezek után /18/ alkalmas C_1 kiszámítására.

Értékelés

Az előzőekben megkerestük a felvetett probléma megoldására szolgáló általános megoldást, majd a gyakorlati szempontból számításba jövő esetekben az áramköri elemek értékét is. A specializálást még tovább folytatva meghatároztuk egy NaJ szcintillátorhoz tartozó $\tau_d = 0,25 \mu\text{sec}$ -mal és $\tau_i = 1 \mu\text{s}$ -mal jellemzett fotomultiplieres részecske-detektor jeleit utánzó higanykapcsolós impulzusgenerátor elemeinek értékét /6. ábra/.

A kihasználási tényezőre $K = 0,784$ értéket kapunk. /100 V egyenfeszültségből 78 V-os impulzus! / Ha ugyanezt a detektor-jelet az 5.c. ábra szerinti áramkörrel állítjuk elő, $K_{\max} = 0,333$ -t érhetünk csak el.

Ebből leszűrhető az a tanulság, hogy nagy /100 V körüli/ kimenő impulzusamplitudók előállítására a 6. ábra szerinti kapcsolás jelentős előnyöket nyújt: kisebb és üzembiztosabban kapcsolható feszültséggel működtethető, mint az ugyanakkora impulzusamplitudót szolgáltatató C-R áramkör.



6. ábra

Egészen kicsiny /10 µV nagyságrendű/ kimenőjelek keltésére viszont a C-R áramkör látszik jobban alkalmazhatónak: K elegendően kicsire választásával a kapcsolgatott feszültség a kontakt potenciál értékénél lényegesen nagyobbra választható.

Meg kell jegyezni továbbá azt, hogy mindkét áramkör tartalmaz a C /ill. C_1 / kondenzátorral sorban egy ellenállást, tehát a levezetett összefüggések akkor is alkalmazhatók, ha erre a kondenzátorra egy véges belsőellenállású generátorból adunk feszültség-ugrást. Így tehát összefüggéseink - megfelelő körültekintéssel - akkor is használhatók, ha pl. egy katódkövető rácsára adott feszültségugrásból kívánunk detektor-jelet utánzó impulzust előállítani.

Függelék

A négy-pólus /4. ábra/ láncparaméterei:

$$P = \frac{Z_c + Z_a}{Z_c} \quad R = Z_a \quad G = - \frac{Z_a + Z_b + Z_c}{Z_b Z_c} \quad S = - \frac{Z_a + Z_b}{Z_b}$$

Ezeket /5/-be behelyettesítjük:

$$u_{ki} = \frac{Z_b Z_c C U_0}{C_p Z_c (Z_a + Z_b) + Z_a + Z_b + Z_c}$$

Az egyes impedanciákat $Z_i = \frac{J_s}{J_n}$ alakúnak feltételezve:

$$u_{ki} = \frac{C_s B_s A_n C U_0}{C_p (C_s A_s B_n + C_s B_s A_n) + A_s B_n C_n + B_s A_n C_n + C_s A_n B_n}$$

A fenti összefüggés /1/-gyel összevetve azonnal jelzi, hogy C_s , B_s és A_n fokszáma csak zérus lehet. A_s , B_n valamint C_n fokszámát abból a feltétel-

ből határozhatjuk meg, hogy u_{kl} nevezőjének p másodfoku polinomjának kell lennie. A_s, B_n és C_n fokszáma az alábbi kombinációkban veheti fel a 0 vagy 1 értéket:

A_s	B_n	C_n	Z_a	Z_b	Z_c
0	0	0	—	—	—
		1	—	—	—
1	0	0	$pL+R$	R	R
		1	$pL+R$	R	$\frac{R}{1+pT}$
0	1	0	R	$\frac{R}{1+pT}$	R
		1	R	$\frac{R}{1+pT}$	$\frac{R}{1+pT}$
1	1	0	—	—	—
		1	—	—	—

7. ábra

A táblázat másik fele a lehetséges megoldásokhoz tartozó impedanciák jellegét tünteti fel.

Az 5.a. és 5.b. ábra csak az értelemszerűen különböző megoldásokat tünteti fel.

Irodalom

- [1] Garvin, R.L.: Rev.Sci.Instr. 21, 903 /1950/
- [2] Madarász Z.; Zámori Z.: KFKI Közl. 7.évf. 3.szám 1959.
- [3] Fränz, K.; Müller, Kl.: Telefunken Zeitung 1962.márc.
- [4] Lewis, Wells: Millimicrosecond Pulse Techniques, McGraw-Hill, 1954.
- [5] Faistein: Amplifier Linearity. Nucl.Science Series Report No.20.p.175.

Érkezett 1962. okt. 4.

KFKI Közl. 10.évf. 5.szám, 1962.

LOGARITMIKUS ÁTLAGIMPULZUSSZÁM-MÉRŐ

Irta: Sebestyén Béla és Vajda Ferenc

Összefoglalás

A cikk egy kidolgozott logaritmikus átlagimpulzusszám-mérőt ismertet. A berendezés rendszertехnikai leírásán kívül kitér részletáramköri megoldásokra, a mérési pontosság és az alkalmazási lehetőségek kérdéseire.

1. Bevezetés

A logaritmikus beütésszámátlagmérők /rate meterek/ a modern nukleáris mérés-technika számos területén ma már nélkülözhetetlen alapműszerként szerepelnek. Legfontosabb alkalmazási területük egyrészt ott van, ahol nagymértékben, több nagyságrendet változik a mérendő mennyiség, ill. az ezzel arányos beütésszám és ezt kell folyamatosan mérni és a mérési eredményeket regisztrálni, másrészt, ahol ez az időnek exponenciális függvénye.

A logaritmikus beütésszámátlagmérő egy olyan speciális, az időegység alatt érkező beütésszám-átlagot mérő műszer, amelynek kimenő feszültsége, illetve árama a bemenetre érkező impulzusszám másodpercenkénti átlagos számának logaritmusával arányos.

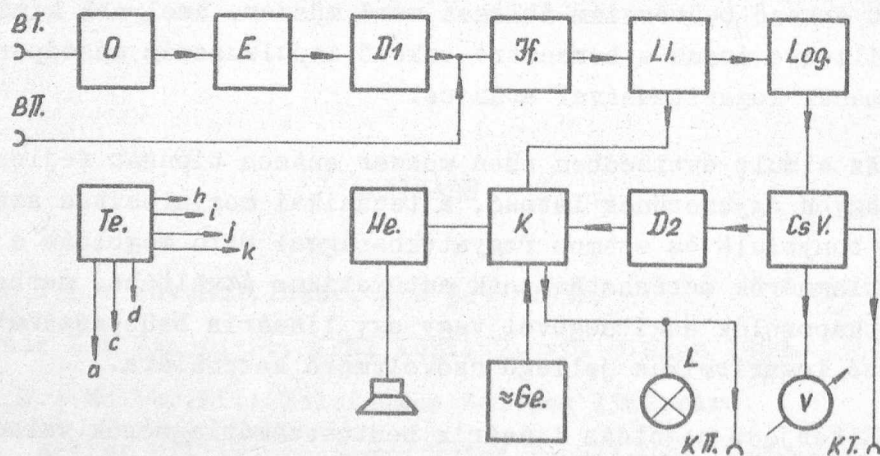
Az elmúlt évtizedben ezen műszer számos típusát fejlesztették ki. Egyik nagyon egyszerűnek látszó, a technikai megvalósítás szempontjából azonban bonyolult és számos fogyatékkal bíró megoldás a lineáris beütésszámátlagmérők méréshatárainak automatikus átváltása, mechanikus rendszerű átkapcsolók segítségével vagy egy lineáris beütésszámátlagmérő és azt követő logaritmikus jellegű csővoltage mérő használata.

Elterjedt megoldás lineáris beütésszámátlagmérők valamilyen szokásos kapcsolásának alkalmazása logaritmikus jellegű kisütő elem felhasználásával, amit pl. egy induló áram tartományban működtetett vákuumdióda realizálhat. A logaritmikus beütésszámátlagmérők fejlesztésében jelentős fordulatot eredményezett az automatikus mérési intervallum-váltás módszerének kidolgozása. Ez a módszer - amelyet az ismerttetett készüléknél

is felhasználtunk - azon alapszik, hogy a mérőberendezésben a bemenő frekvencia növelésével egyes áramkörök fokozatosan telítésbe jutnak, míg mások működésbe jönnek. A módszer legnagyobb erénye abban rejlik, hogy nem használ fel nonlinearis elemeket és a benne szereplő aktív elemek csak mint elektronikus kapcsolók dolgoznak. A logaritmikusan átlagimpulzusszámmérők elvi működésének, tulajdonságainak részletesebb összehasonlításával egy további cikk keretében fogunk foglalkozni.

A jelen közelményben ismertetünk egy komplett átlagimpulzusszámmérő rendszert, melyet a KFKI Elektronikus Laboratóriumában hoztunk létre. Tudomásunk szerint Magyarországon ez az első kidolgozott logaritmikusan átlagimpulzusszámmérő. A mérőberendezést atomfizikai mérések kapcsán hosszabb ideje igénylik. Célszerű lett volna az egész berendezést tranzisztorizált kivitelben kidolgozni, de éppen, mert az igény kielégítése sürgős volt s mert a logaritmikusan átlagimpulzusszámmérővel, de a tranzisztorokkal kapcsolatos hazai tapasztalatok is szerények, hibrid megoldás született. A kényesebb áramkörök csövekkel, míg a kevésbé kényesek tranzisztorokkal épülnek fel.

Az alábbiakban mindenekelőtt a berendezés felépítését ismertetjük, majd a részletáramköri megoldásokra térünk ki. Bár a stabilizált tápegység nem tartozik szorosan a mérőrendszerhez, mégis érintjük néhány - szerintünk a technikai alkalmazások szempontjából érdekes - új megoldása miatt.



1. ábra

O : bemenő osztó
 E : erősítő
 D₁ : amplitudó diszkriminátor
 J_f : jelformáló kör
 Ll : limiter
 Log. : logaritmikusan integráló
 CsV : csővoltmérő

D₂ : egyenáramú diszkriminátor
 K : kapu kör
 Ge : hangfrekvenciás generátor
 He : hangfrekvenciás erősítő
 Te : tápegység
 L : jelzőlámpa

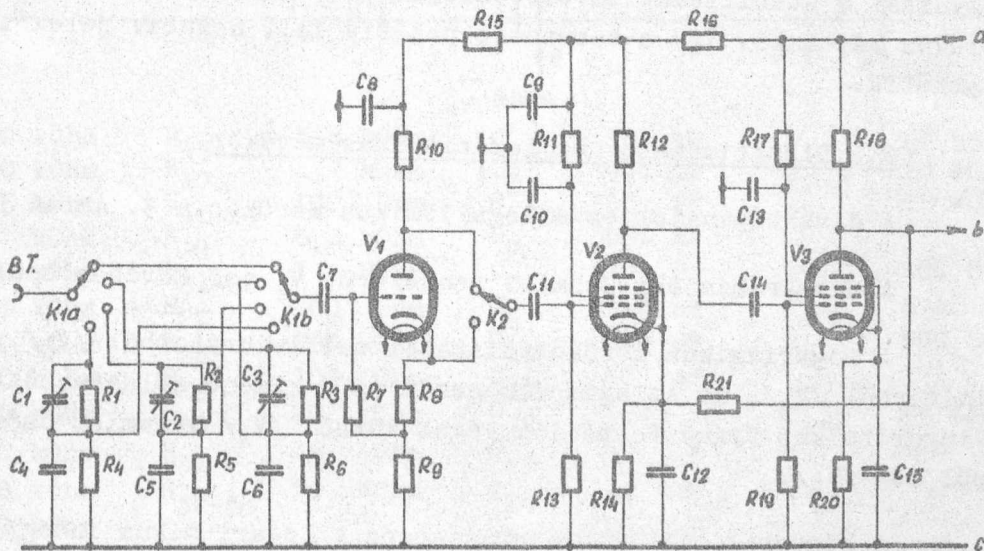
2: A logaritmusos átlagimpulzusszám-mérő felépítése

A műszer felépítését az 1. ábra blokksémáján mutatjuk be. A blokkséma jelöléseinek magyarázata az ábra alján látható. Két bemenete van, melyek közül B_{II} közvetlenül a mérőkörre kapcsolódik, míg a B_I -frekvenciakiegyenlített osztó, szélessávu impulzuserősítő és diszkriminátor közbeiktatásával. Maga a mérőrendszer az /1:2/ arányú frekvenciaosztóból, az amplitudó limiterből, a logaritmusos körből és az azt követő csővoltmérőből áll.

A mérőkörhöz riasztókör csatlakozik, mely szintmérőből, kapuáramkörből, hangfrekvenciás generátorból, hangfrekvenciás erősítőből, valamint hang- és fényindikátorból áll.

Az eddigieket stabilizált tápáramforrás egészíti ki.

A műszer négy nagyságrendnyi mérési tartományt ölel fel. Alkalmass 1-10000 imp/sec terjedő átlagimpulzusszám mérésére.



2. ábra

R_1	1	MOhm	R_{12}	5,6	kOhm	C_{1-2-3}	5-25	pF	V_1	ECC 85
R_{2-3}	1,1	MOhm	R_{13}	430	kOhm	C_4	100	pF	V_{2-3}	E 180 F
R_4	120	kOhm	R_{14}	56	Ohm	C_5	1	nF		
R_5	12	kOhm	R_{15}	2,7	kOhm	C_{6-7}	10	nF		
R_6	1	kOhm	R_{16}	1	kOhm	C_{8-9}	32	μ F		
R_7	430	kOhm	R_{17}	33	kOhm	C_{10}	0,1	μ F		
R_8	220	Ohm	R_{18}	5,6	kOhm	C_{11}	10	nF		
R_9	1,8	kOhm	R_{19}	430	kOhm	C_{12}	2	nF		
R_{10}	2,2	kOhm	R_{20}	75	Ohm	C_{13}	0,1	μ F		
R_{11}	33	kOhm				C_{14}	10	nF		
						C_{15}	4,7	nF		

Az impulzusok beérkezése, hangszórón át hallható. A berendezés beállítható úgy, hogy egy előre meghatározott impulzusszám/időegység értékénél fény és hangjelet ad ki, K_{II} kimenetére egy - a készüléktől távol elhelyezett - riasztóeszköz csatlakoztatható, K_I kimenetéről szintiró, vagy távolban elhelyezett más indikátor működtethető.

A berendezés rendszere által nyújtott lehetőségekről a részlet-áramkörök ismertetése után, az alkalmazási kérdések kapcsán adunk áttekintést.

2.1. Szélessávu erősítő

A szélessávu erősítő a szokásos megoldásokhoz képest új elemet nem tartalmaz /2. ábra/. Bemenetén 1:1, 1:10, 1:100 amplitudó osztási lehetőséget adó frekvenciakiegyenlített osztó helyezkedik el. Ennek és a diszkriminátor kör szabályzó potenciométerének segítségével /3. ábra P_1 / a diszkriminációs szint 15 mV - 15 V között szabályozható. Az erősítés értéke 100. Az erősítés pontos értékét negatív visszacsatolással állítjuk be, mely egyúttal a stabilitást is biztosítja. Az erősítő polaritása a K_2 kapcsoló révén váltható. Így a bemenetre pozitív ill. negatív jelek is csatlakoztathatók.

2.2 Diszkriminátor és logaritmikus mérőkör

A diszkriminátor és a logaritmikus mérőkör a 3. ábrán látható.

A diszkriminátor Schmitt rendszerű, V_1 cső körében épül fel.

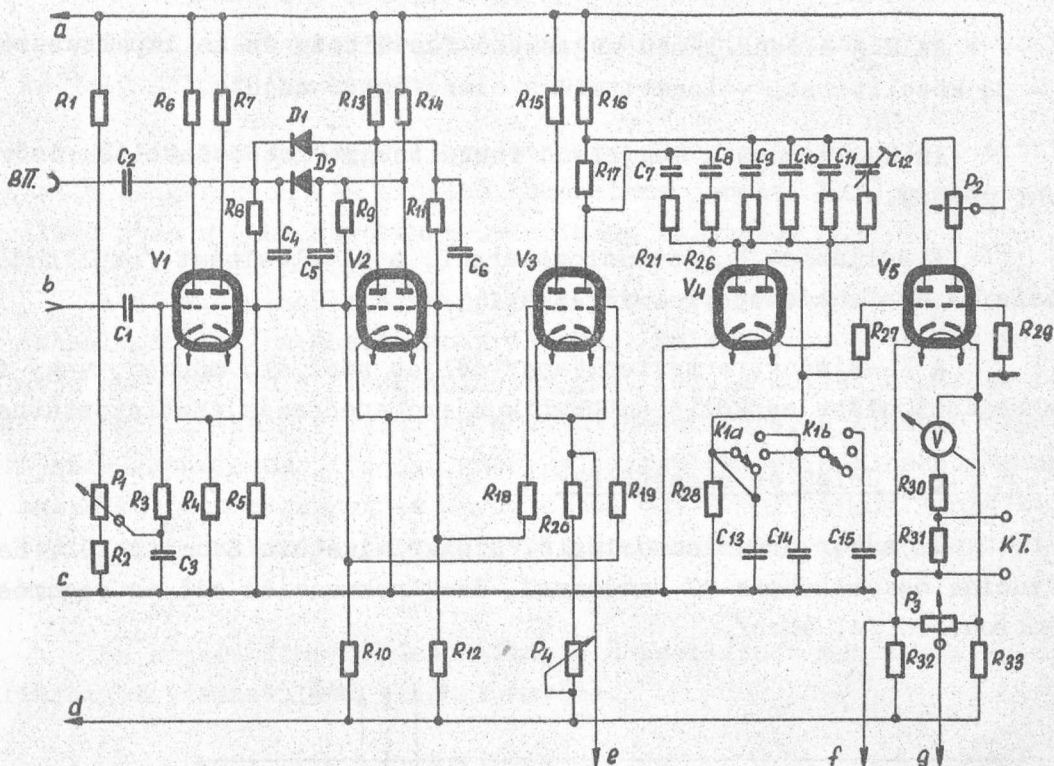
A logaritmikus mérőkör bistabil multivibrátorból / V_2 /, amplitudólimiterből / V_3 /, az átlagimpulzusszám és a kimenő átlagfeszültség közötti logaritmikus transzformációt végző körből / V_4 / valamint csővoltmérőből épül fel / V_5 /.

A bistabil multivibrátor szerepe a logaritmikus integráló kör részére a jelek megfelelő szélességűre formálása.

A multivibrátor minden impulzus hatására átbillen, utána olyan impulzussort kapunk, melyben az impulzusok átlagidőtartama a bejövő jel átlagimpulzusszámának reciproká.

Ilyen módon biztosítjuk, egyrészt a logaritmikus integráló kör kondenzátorainak feltöltéséhez szükséges időt, ugyanakkor elkerülve azt, hogy nagy impulzusszám esetén lényeges számlálási veszteséget szenvedjünk.

A mérőkör pontossága az impulzus amplitudó állandóságának függvénye. Az amplitudót tehát normalizálni kell. Ezt a feladatot végzi a limiter. A limiter által kiadott impulzusok talp-pontját a cső null-rácsfeszültséghez tartozó árama, csúcserőértékét a tápfeszültség határozza meg.



3. ábra

R ₁	200 kOhm	R ₁₅₋₁₆	5,6 kOhm	C ₁₋₂	10 nF	P ₁	22 kOhm
R ₂	150 kOhm	R ₁₇	1,2 kOhm	C ₃	0,1 μF	P ₂₋₃	10 kOhm
R ₃	0,5 MOhm	R ₁₈₋₁₉	100 Ohm	C ₄₋₅₋₆	33 pF	P ₄	4 kOhm
R ₄	22 kOhm	R ₂₀	6,8 kOhm	C ₇	690 nF	V ₁₋₂₋₃	ECC 85
R ₅	220 kOhm	R ₂₁₋₂₆	1 MOhm	C ₈	40 nF	V ₄	6 AL 5
R ₆₋₇	7,5 kOhm	R ₂₇	100 Ohm	C ₉	3,4 nF	V ₅	ECC 85
R ₈	200 kOhm	R ₂₈	250 kOhm	C ₁₀	340 pF	D ₁₋₂	OA 1161
R ₉	240 kOhm	R ₂₉	100 Ohm	C ₁₁	40 pF		
R ₁₀	110 kOhm	R ₃₀	20 kOhm	C ₁₂	5-25 pF		
R ₁₁	240 kOhm	R ₃₁	15 Ohm	C ₁₃	4 μF		
R ₁₂	110 kOhm	R ₃₂₋₃₃	22 kOhm	C ₁₄	16 μF		
R ₁₃₋₁₄	10 kOhm			C ₁₅	20 μF		

A transzformációt végző kör a [2] és [3] közötti átmenet. Az R₂₈ ellenálláson át a V₄ dióda anódköre RC elemei átlag áramainak összege folyik. A körnek az a jellegzetessége, hogy valamely RC-tagjától származó átlagáram komponens az impulzusszám növelésével telítési értékhez tart. A méréstartomány első nagyságrendjében /dekádjában/ a leghosszabb időállandó RC-tag árama dominál, majd ez a dekád végén telítésbe megy át s előtérbe lép a sorra következő TC tag, és így tovább.

Az R₂₈ ellenállással párhuzamosan, változtatható értékű kondenzátor sor fekszik. Ezek állításával a beállási sebesség ill. statisztikus eloszlású impulzusok esetén a statisztikus ingadozás mértéke szabályozható.

Az R_{28} ellenálláson megjelenő feszültség és az impulzusszám között - jó közelítéssel - logaritmikus összefüggés adódik.

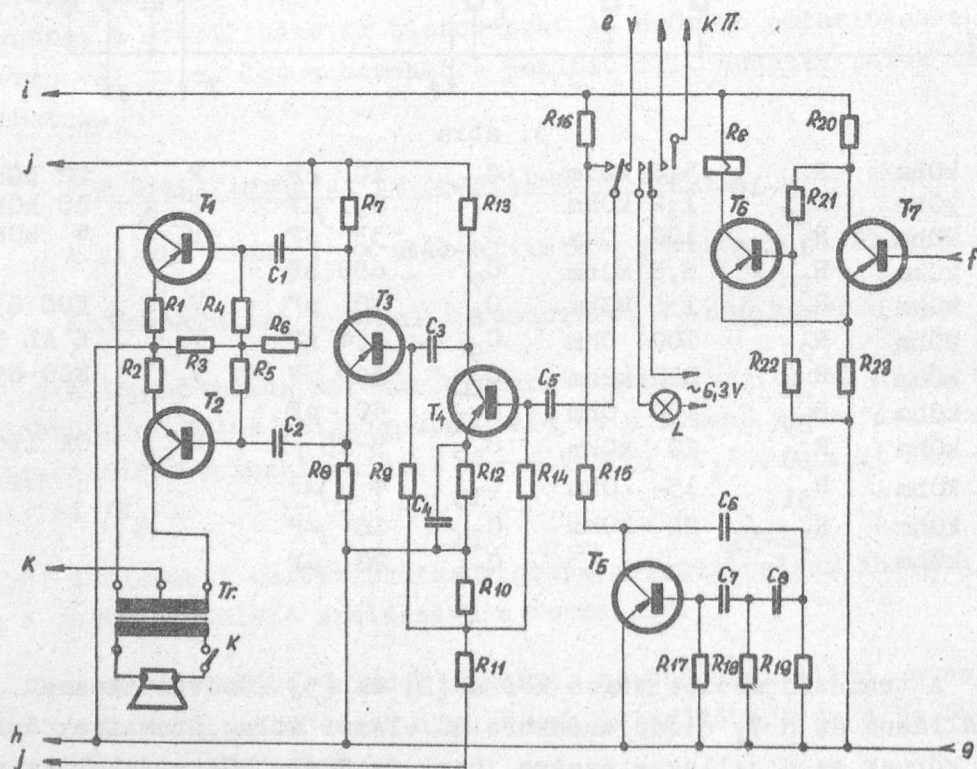
Az R_{28} kapcsain megjelenő feszültséget katódcsatolású csővoltage-mérővel mérjük.

A nullázást P_2 -potenciométerrel, a hitelesítést /amplitudósza-bályozás/ P_4 -potenciométerrel végezzük.

A K_I -kimenetre távleolvasás célját szolgáló műszer, vagy folyamatos regisztrálást eszközlő automatikus íróberendezés csatlakoztatható.

2.3 Jelző és riasztó kör

Ez a kör tranzisztorizált. Diszkriminátora Schmitt-kör, hang-frekvenciás oszcillátora RC-rendszerű. Hangfrekvenciás elő és végerősítője konvencionális /4. ábra/.



4. ábra

R_{1-2}	15 Ohm	R_{10}	470 Ohm	R_{17}	1 MOhm	C_{1-2}	100 μ F
R_3	220 Ohm	R_{11}	10 kOhm	R_{18}	10 kOhm	C_3	25 μ F
R_4	10 kOhm	R_{12}	100 Ohm	R_{19}	3,3 kOhm	C_4	100 μ F
R_5	22 kOhm	R_{13}	15 kOhm	R_{20}	2 kOhm	C_5	0,1 μ F
R_6	62 kOhm	R_{14}	22 kOhm	R_{21}	5,1 kOhm	C_6	30 nF
R_{7-8}	10 kOhm	R_{15}	47 kOhm	R_{22}	1 kOhm	C_7	5 nF
R_9	33 kOhm	R_{16}	12 kOhm	R_{23}	100 Ohm	C_8	10 nF
						T_{1-5}	P 13 B
						T_{6-7}	P 15

Normál üzemállapotban a Schmitt-kör T_6 tranzisztorán áram folyik és az Re jelű jelfogó meghuzott állapotban van.

A limiter katódjáról levett impulzusok a jelfogó zárt érintkezőpárján át a hangfrekvenciás erősítő bemenetére jutnak. Minden második bemenő impulzus után a hangszóróban koppanó hang hallható.

A diszkriminátor szintjét a 3. ábra P_3 potenciométerének állításával szabályozhatjuk meghatározott értékre. Amikor a csővoltmérő feszültség szintje ezen tullep a diszkriminátor átbillen. A kollektorkörben fekvő jelfogó elenged, a hangfrekvenciás erősítő bemenetére, a limiter impulzusai helyett az RC-generátor jele jut, mely a hangszórón át hallható. Ugyanakkor még a másik két kontaktuspár is záródik. Az egyik egy lámpát gyújt ki, a másik pedig egy - a berendezéstől távol elhelyezett - riasztó eszközt működtethet.

Ha a csővoltmérő kimenőszintje a beállított érték alá esik, a diszkriminátor visszabillen alaphelyzetébe.

2.4 Stabilizált tápegység

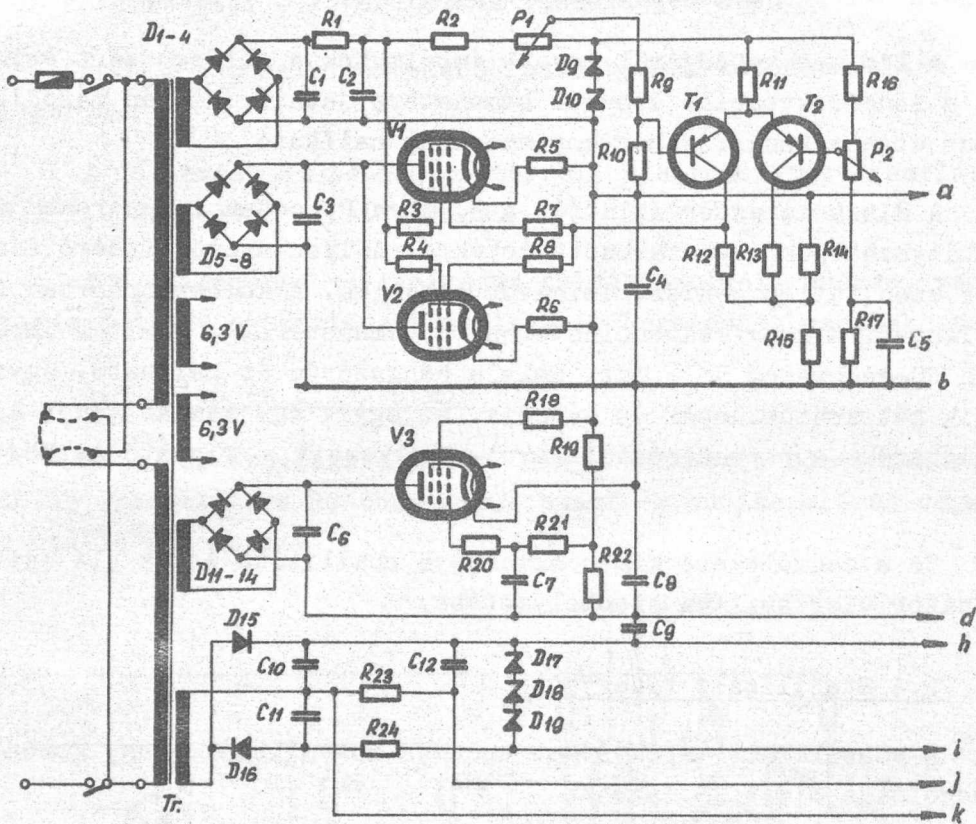
A stabilizált tápegységet érdemes megemlíteni - úgy gondoljuk - eredeti megoldása miatt /5. ábra/.

Két részből, egy 250 V-os és egy 100 V-os részből áll, egymással szoros egységben.

A 250 V-os egység hibrid, melyben a soros szabályzó elemek csövek, a szabályzó erősítő pedig tranzisztorokból épül fel. A csekély kollektorfeszültségű tranzisztorok alkalmazása azáltal válik lehetővé, hogy a kimenőfeszültség változását nem a negatív ponthoz viszonyítva, hanem a soros cső katódjához viszonyítva regisztráljuk. A tranzisztorokat külön forrásról tápláljuk, melyet a referenciafeszültség és a soros szabályzó csövek árnyékolórács-feszültségének előállítására is használunk. Referenciaelemként zener diódák szolgálnak, a P_1 -potenciométer a szabályzóerősítő részére hálózat irányából jövő kompenzációs feszültséget szolgáltat.

A 100 V-os rész felépítésénél erősítőt nem alkalmaztunk. Referenciafeszültségként a 250 V-os tápegységet használtuk, s ugyanez szolgáltat stabilizált tápfeszültséget a soros cső árnyékolórácskörének is. Ennek a feszültségnek stabilitása a soros körben biztosítja az alkalmazott pentóda nagy belső ellenállásának érvényesüléséből származó előnyöket.

A tranzisztor-körök ellátására szolgáló rész az ábra legalján látható. A diszkriminátor és RC-oszcillátor részére a stabilizált feszültséget zener-diódák biztosítják.



5. ábra

R ₁	1 kOhm	R ₁₄	4,7 kOhm	C ₁₋₄	16 μF	V ₁₋₃	EL 84
R ₂	20 kOhm	R ₁₅	75 kOhm	C ₅	0,1 μF	T ₁₋₂	P 15
R ₃₋₄	1 kOhm	R ₁₆	8,2 kOhm	C ₆	16 μF	D ₁₋₈	DGC 27
R ₅₋₆	33 Ohm	R ₁₇	220 kOhm	C ₇	20 nF	D ₉₋₁₀	Z 7
R ₇₋₈	1 kOhm	R ₁₈	1 kOhm	C ₈	16 μF	D ₁₁₋₁₄	DGC 27
R ₉	4,7 kOhm	R ₁₉	300 kOhm	C ₉₋₁₂	100 μF	D ₁₅₋₁₆	DGC 24
R ₁₀	1 kOhm	R ₂₀	1 kOhm	P ₁	1 kOhm	D ₁₇₋₁₉	Z 6
R ₁₁	12 kOhm	R ₂₁₋₂₂	100 kOhm	P ₂	4,7 kOhm		
R ₁₂₋₁₃	22 kOhm	R ₂₃₋₂₄	470 Ohm				

2.5 Jellemzők:

Az alábbiakban összefoglaljuk a berendezés jellemzőit:

1. Méréshatár 1 - 10⁴ c/s
2. Időállandók 1-5-10 sec /átkapcsolható/

3. A bemenő jel adatai	
B _I bemenet:	
a jel polaritása	negativ ill. pozitiv
/változtatható/	
a jel amplitudója	15 mV
B _{II} bemenet:	
a jel polaritása	negativ
a jel amplitudója	20 V
4. Diszkriminációs szint	
beállitható	15 mV - 15 V
5. Felbontóképesség	10 μsec
6. A bemenő jel szélessége	0,5 - 5 μsec
7. A mérés pontossága:	
a/ beépített műszerrel	± 10 %
b/ szintiróval	± 5 %
8. Időbeli stabilitás	0,5%/8 óra
9. A szintiró kimenet	
kimenő ellenállása	15,5 ohm
10. A szintjelző működési határai:	
a kimenő áram 20 - 100 % között működik.	
11. Fogyasztás	88 VA

3. Alkalmazási lehetőségek

A logaritmikus átlagimpulzusszám-mérők alkalmazási lehetőségei közül a következőket említjük meg:

radioaktiv szennyezésmérés,
radioaktiv szint-regisztrálás,
reaktorok periódus idejének mérése,
izotópok felezési idejének mérése,
anyagvastagságmérés.

A jelzőberendezés segítségével különösen könnyen felkutathatunk radioaktiv szennyezéseket. A szintmérő segítségével ellenőrizhetjük valamilyen környezet radioaktiv szintjét. A küszöbérték túllépésekor riasztó jelzést kapunk.

Megjegyezzük, hogy a felsorolt alkalmazások egyik-másikához a berendezés járulékos készülékekkel való kiegészítése szükséges.

Köszönetünket nyilvánítjuk Bürger Gáborné kollégánknak a részletáramköri számítások és mérések, Réday István technikusnak pedig a szerelési munkák lelkiismeretes végzéséért.

Irodalom

- [1] Cooke, - Yarborough, E.H.; Pulsford, E.W. : Proc.IEE 98. 1951 p.196.
- [2] Lichtenstein, R.M., J.Appl.Phys. 28.Sept.1957. p.984.
- [3] De Bolt, H.E.: IRE Trans. on Nuclear Science June 1959 p.74.
- [4] 148.416 sz. Magyar Szabadalom
- [5] 148.417 sz. Magyar Szabadalom

Érkezett 1962. jul. 26.

KFKI Közl. 10. évf. 5. szám, 1962.